# 2 b 4 f h 3 8 % b f Д О К Л А Д Ы

LXXVIII, № 5 1984

### Խմբագրական կոլեգիա

Դ Ա. ԱՐՋՈՒՄԱՆՑԱՆ, տեխն. զիտ. թեկնածու (պատ. քաշտուղաշ), է. Գ. ԱՖՐԻԿՑԱՆ,
2002 ԳԱ ակաղեմիկոս, Ա. Ժ. ԲԱԲԱՑԱՆ,
2002 ԳԱ ակաղեմիկոս, Ա. Հ. ԳԱԲՐԻՍԼՑԱՆ,
2002 ԳԱ ակաղեմիկոս, Ա. Ա. ԹԱԼԱԼՑԱՆ,
2002 ԳԱ թղթ. անդամ, Վ. Մ. ԹԱՌԱՑԱՆ,
2002 ԳԱ թղթ. անդամ, Վ. Հ. ՀԱՄԲԱՐՉՈՒՄՑԱՆ, ակաղեմիկոս, Վ. Հ. ՂԱԶԱՐՅԱՆ, 2002
ԳԱ ակաղեմիկոս (պատ. խմբազշի տեղակայ), Վ. Գ. ՄԽԻԲԱՐՑԱՆ, 2002 ԳԱ ակադեմիկոս, Օ. Մ. ՍԱՀԱԿՅԱՆ, 2002 ԳԱ ակադեմիկոս, Օ. Մ. ՍԱՀԱԿՅԱՆ, 2002 ԳԱ ակադեմիկոս, Օ. Մ. ՍԵՐ-ՄԻՔԱՅԵԼՅԱՆ, 2002 ԳԱ
ակաղեմիկոս, Վ. Բ. ՖԱՆԱՐՋՅԱՆ, 2002 ԳԱ
ակաղեմիկոս, Վ. Բ. ՖԱՆԱՐՋՅԱՆ, 2002 ԳԱ
ակաղեմիկոս,

#### Редакционная коллегия

В. А. АМБАРЦУМЯН, академик, Г. А АРЗУМАНЯН, канд. техн. наук (отв. секретарь), Э. Г. АФРИКЯН, академик АН АрмССР, А. Т. БАБАЯН, академик АН АрмССР, А. А. ГАБРИЕЛЯН, академик АН АрмССР, В. О. КАЗАРЯН, академик АН АрмССР (зам. отв. редактора), В. Г. МХИТАРЯН, чл.-корр. АН АрмССР, Г. С. СААКЯН, академик АН АрмССР, О. М. САПОНДЖЯН, чл.-корр. АН АрмССР, А. А. ТАЛАЛЯН, чл.-корр. АН АрмССР, В. М. ТАРАЯН, чл.-корр. АН АрмССР, В. М. ТАРАЯН, чл.-корр. АН АрмССР, В. М. ТАРАЯН, чл.-корр. АН АрмССР, В. М. ТЕР-МИКАЕЛЯН, академик АН АрмССР, В. В. ФАНАР-ДЖЯН, академик АН АрмССР.

ՀԱՅԿԱԿԱՆ ՍՍՀ ԳԻՏՈՒԹՅՈՒՆՆԵՐԻ ԱԿԱԴԵՄԻԱՅԻ ՀՐԱՏԱՐԱԿՉՈՒԹՅՈՒՆ

### \* F N 4 U 5 T U 4 N F M 3 N F 5

THE DITUSION.	12
Վ. Ս. Վիդենսկի — Գծային դրական օպերատորներով ծնված գումարման ռեղուլյար մատրիցաների մասին	
սթբարական <b>Մաթեւքա</b> ՏԻԿԱ	
Կ. Ո. Եղիազաբյան <i>–Հաղամարի տարածական ընդհանրացված մատրիցաների մասին</i> ՄեԽԱՆԻԿԱ	203
Գ. Ե. Բաղդասաբյան <i>—Ոչ ստացիռնար հոսանրի մասնիսական դաշտում դանվող գեր-</i> հաղորդիչ գլանային <i>βաղանβի դինամիկական կայունությ</i> ունը	208
Է <b>ՆԵՐԳԵՏԻ</b> ԿԱ	
Ն, II, Խուբբուդով—Դազամատակարարման օպտիմիզացման մոդելների նամակարդի կազմավորումը	213
ՖԵԶԻԿԱԿԱՆ ՔԻՄԻԱ	
Կ. Ա. Կոստանյան, Մ. Ա. Պողոսյան, Վ. Ե. Աղամյան, Զ. Ա. Մուrադյան— Li O-Fe <sub>2</sub> O <sub>3</sub> -B <sub>2</sub> O <sub>3</sub> սիստեմի ապակիների մի շարը ֆիզիկա-թիմիական և մադնիսական ատկությունները	218
ельзиьеь зьяьнильни	
Հ. Հ. Գևեթյան, ա. Կ. համակյան, Կ. Վ. Էգիբյան <i>-Ֆիտոհորմոնների պարունակու-</i> Քյունը կարտոֆիւի վայրի տեսակների մոտ՝ կապված օրվա տեսղու <b>թ</b> յունից	223
ՖԻԶԻՈԼՈԴԻԱ	
Հ. Պ. Քոսոյան, Ա. Հ. Բանտիկյան <i>–Ուղեղիկ ուրվադծվող կամրջա-ուղեղիկային նեյ-</i> րոնների կլեկտրաֆիղիոլոգիական վերլուծությունը	227
Բովանդակություն LXXVIII հատորի	232

### СОДЕРЖАНИЕ

MATEMATHKA	Cip.
В. С. Виденский—О регулярных матрицах суммирования, порождаемых линейными положительными операторами	
ПРИКЛАДНАЯ МАТЕМАТИКА	
К. О. Египзарян—О пространственных обобщенных матрицах Адамара	203
механика	
Г. Е. Багдасарян—Динамическая устойчивость сверхпроводящей цилинд- рической оболочки в магнитном поле нестационарного тока	208
ЭНЕРГЕТИКА	
H. C. Хуршудов—Формирование системы моделей оптимизации газоснабжения	213
ФИЗИЧЕСКАЯ ХИМИЯ	
$\mathcal{K}$ А. Костанян, М. А. Погосян, В. Е. Адамян, З. А. Мурадян—Некоторые физико-химические и магнитные свойства стекол в системе $\mathrm{Li}_2\mathrm{O}$ $\mathrm{Fe}_2\mathrm{O}$ $\mathrm{B}_2\mathrm{O}$	218
физнология растении	
А. Г. Деведжян, Х. К. Хажакян, К. В. Эгибян—О содержании фитогормонов у диких видов картофеля в связи с влиянием длины дня	223
ФИЗИОЛОГИЯ	
О. П. Косоян, А. О. Бантикян—Электрофизнологический анализ нейронов собственных ядер моста, проецирующихся в мозжечке	227
Содержание LXXVIII тома	232

#### CONTENTS

MATHEMATICS	Р
W. S. VidenskiOn regular matrices of summability, generated by linear positive operators • • • • • • • • • • • • • • • • • • •	
V. J. Martirosian—On distributivity of lattices of subvarieties of the varieties of right alternative algebras	
APPLIED MATHEMATICS	199
K. O. Egiazarian—On a higher dimensional generalized Hadamard mat-	
rices · · · · · · · · · · · · · · · · · · ·	203
MECHANICS	
G. E. Bagdasarian—Dynamic stability of a superconducting cylindrical shell in the magnetic field of a non-stationary current	208
N. S. Khurshudov Formation of a system of models for the optimization of gas supply	213
PHYSICAL CHEMISTRY	
K. A. Kostanian, M. A. Pogosian, V. Y. Adamian, Z. A. Muradian—Some physical, chemical and magnetic properties of glasses in the system $Li_2O-Fe_2O_3-B_2O_3$ · · · · · · · · · · · · · · · · · · ·	218
PLANT PHYSIOLOGY	
H. H. Devedjtan, K. K. Khazhakian, K. V Egibian—On the contents of phytohormones in the wild species of potatoes as influenced by the length of div	223
PHYSIOLOGY PHYSIOLOGY	
11. P. Kosoyan, A. 11. Bantikian—Electrophysiological analysis of pontine gray proper neuroos projecting to cerebellum • • • • • • •	227
Contents of LXXVIII volume • • • • • • • • • • • • •	232

### Техн. редактор АЗИЗБЕКЯН Л. А.

Сдано в набор 9 04.1984 г. Подписано к печати 9.07.1984 г ВФ 06056 Бумага № 1, 70×108<sup>1</sup>/<sub>16</sub> Высокая печать Печ. лист 3,0 Усл. печ. лист 4.2 Учет.-изд. 3,31 л. Тираж 415. Заказ 298. Издат. 6115. Адр. ред.: 375019, Ереван, пр. Маршала Баграмяна, 24г, П. эт., 1 к. LXXVIII

1984

5

УДК 517.521.8

МАТЕМАТИКА

#### В. С. Виденский

# О регулярных матрицах суммирования, порождаемых линейными положительными операторами

(Представлено академиком АН Армянской ССР М. М. Джрбашяном 4/III 1983)

1. Связь между многочленами Бернштейна, а также их обобщениями для системы функций  $\{x^{a_k}\}$  и методами суммирования последовательностей была обнаружена и исследована в известных работах Хаусдорфа\* (1) и Кноппа (23) (см. также (4)). Интересные теоремы тауберова типа для преобразования Хаусдорфа установлены в статье (5).

Цель настоящей заметки доказать одну общую теорему о матрицах суммирования, которые строятся при помощи линейных положительных операторов (л. п. о.) из C[0, 1] в C[0, 1] вида

$$L_n(f, x) = \sum_{k=0}^n f(\xi_{nk}) p_{nk}(x),$$
 (1)

где  $0 = \xi_{n0} < \xi_{n1} < ... < \xi_{nn} = 1$ ,  $p_{nk} \in C[0, 1]$ ,  $p_{nk}(x) \ge 0$  при  $0 \le x \le 1$ ,  $L_n(1, x) = \sum_{k=0}^{n} p_{nk}(x) = 1$ .

Последовательность операторов {L<sub>n</sub>} называется аппроксимирующей, если

$$\forall f \in C[0, 1] \lim_{n \to \infty} ||L_n f - f||_C = 0.$$
 (2)

Теорема 1. Если  $\alpha$ —функция ограниченной вариации на [0,1], такая что  $\alpha(0)=\alpha(0+)=0$ ,  $\alpha(1)=1$  и  $\{L_n\}$ —аппроксимирующая последовательность л. п. о. вида (1), то регулярна матрица

$$a_{nk} = \int_{0}^{1} p_{nk}(t) da(t).$$

Случай, когда  $\xi_{nk} = k/n$ , был рассмотрен в ( $^6$ ). В п.2 мы применим теорему 1 к л. п. о. по рациональным дробям (см. ( $^{7.8}$ )) для исследования метода суммирования [J,  $d_{nl}$ ] Якимовского ( $^8$ ).

Доказательство. Мы имеем

<sup>•</sup> Пользуюсь случаем выразить искреннюю благодарность академику АН Армянской ССР М. М. Джрбашяну, который, представляя к печати заметку (8), привлек мое внимание к классической работе Хаусдорфа (1). Результатами настоящей заметки я целиком обязан этому указанию.

$$\sum_{k=0}^{n} a_{nk} = 1, \quad \sum_{k=0}^{n} |a_{nk}| \le \int_{0}^{1} |da(t)| = A.$$

Таким образом, нужно только проверить, что

$$\lim_{n\to\infty} a_{nk} = 0. \tag{3}$$

Обозначим  $d(L_n) = \|L_n((t-x)^2, x)\| = \left\|\sum_{k=0}^n (\xi_{nk} - x)^2 p_{nk}(x)\right\|$ 

Как известно, условие (2) эквивалентно условию

$$\lim_{n\to\infty} d(L_n) = 0. \tag{4}$$

Действительно, так как  $L_n((t-x)^2, x) = [L_n(t^2, x) - x^2] - 2x[L_n(t, x) - x], d(L_n) \le \|L_n(t^2, x) - x^2\| + 2\|L_n(t, x) - x\|$ , то (4) следует из (2). В обратную сторону достаточно проверить, что (4) влечет (2) для функций, удовлетворяющих условию Липшица, так как класс этих функций плотен в C[0, 1]. Положим

$$\text{Lip}_{M} 1 = \{ f : |f(x') - f(x'')| \leq M|x' - x''|; \ x', \ x'' \in [0, 1] \}.$$

Для  $f \in \text{Lip}_M 1$  мы имеем  $L_n(|f(t)-f(x)|, x) \leq ML_n(|t-x|, x) \leq M\sqrt{d(L_n)}$ , таким образом, (2) следует из (4).

Покажем, что справедливы неравенства (см. (8)):

$$n^{-1} \leq \max_{1 \leq i \leq n} (\xi_{ni} - \xi_{n,i-1}) \leq 2\sqrt{d(L_n)}. \tag{5}$$

Левая часть (5) очевидна, так как  $\sum_{i=1}^{n} (\xi_{ni} - \xi_{n,i-1}) = 1$ . Для вывода правого неравенства положим  $\max_{1\leqslant i\leqslant n} (\xi_{ni} - \xi_{n,i-1}) = \xi_{np} - \xi_{n,p-1} = 2\mu$ ,  $\xi_{np} - \xi_{n,p-1} = 2\nu$ , и обозначим через  $f_n$  функцию, линейную на каждом из отрезков  $[0, \xi_{n,p-1}], [\xi_{n,p-1}, \nu], [\nu, \xi_{np}], [\xi_{np}, 1],$  причем  $f_n(\xi_{nh}) = 0$ ,  $f_n(\nu) = 1$ . Так как  $L_n(f_n, x) = 0$ ,  $f_n(\xi_{np}) = 0$ 

$$\lim_{n \to \infty} \xi_{nk} = 0. \tag{6}$$

Мы выведем (3) из (6). Зафиксируем  $\varepsilon > 0$  и натуральное число k. Выберем  $\eta$  по условию  $2\int\limits_0^\eta |d\alpha(t)| < \varepsilon$ , а затем выберем N так, чтобы при n > N выполнялись неравенства  $2\varepsilon_{nk} < \eta$ ,  $8Ad(L_n) < \varepsilon \eta^2$ . Так как  $0 < p_{nk}(t) \le 1$  и  $p_{nk}(t) < d(L_n)(\varepsilon_{nk} - t)^{-2} \le 4d(L_n)\eta^{-2}$  при  $\eta < t \le 1$ , то имеем  $|a_{nk}| < \int\limits_0^\eta |d\alpha(t)| + \int\limits_0^1 p_{nk}(t)|d\alpha(t)| < \varepsilon$ , и теорема 1 доказана.

Следствие 1. Если  $\{L_n\}$ —аппроксимирующая последовательность л. п. о. вида (2), то при любом  $x_0 \in [0, 1]$  регулярна матрица  $(p_{n,n-k}(x_0))$ ; при любом  $x_0 \in [0, 1[$  регулярна матрица  $(p_{n,n-k}(x_0))$ .

Замечание. Перавенства (5) являются точными. Они достига-

ются для л. п. о.  $\Lambda_n(f,x) = \sum_{k=0}^n f(x_k) \lambda_{nk}(x), \quad x_k = \frac{k}{n}$ , где  $\lambda_{nk}$  функции,

линейные на каждом отрезке  $[x_{i-1}, x_i]$ ,  $\lambda_{nk}(x_k) = 1$ ,  $\lambda_{nk}(x_i) = 0$  при i=k Мы имеем  $\Lambda_n(1, x) = 1$ ,  $\Lambda_n(t, x) = x$ ,  $\Lambda_n(t^2, x) = x^2 + \gamma_n(x)$ , где  $\gamma_n(x) = (x-x_{i-1})(x_i-x)$  при  $x_{i-1} \le x \le x_i$ , так что  $d(\Lambda_n) = 1/4n^2$ .

2. В заметке (') построены л. п. о. вида (1) по рациональным дробям с данной матрицей вещественных полюсов  $(x_{nl})_{l=1}^n$  (EN,  $x_{n,l} \in \mathbb{R} \setminus [0, 1]$ . Напомним обозначения и основной результат:

$$\rho_{ni} = \min(|x_{ni}|, |x_{ni}-1|), s_n = \sum_{i=1}^{n} \rho_{ni}(1+\rho_{ni})^{-1},$$

$$x \in [0, 1], h_{ni}(x) = x(1-x_{ni})(x-x_{ni})^{-1};$$
(7)

Pnk определяются производящей функцией

$$\prod_{l=1}^{n} (yh_{ni}(x) + 1 - h_{ni}(x)) = \sum_{k=0}^{n} p_{nk}(x)y^{k};$$
 (8)

$$\lim_{n\to\infty} s_n = \infty \tag{9}$$

следует, что  $\{B_n\}$  является аппроксимирующей. Необходимость условия (9) установлена в (8).

Применим операторы  $B_n$  к исследованию метода суммирования  $[J, d_{nl}]$  Якимовского (°). Пусть  $(d_{nl})_{l=1}^n$ ,  $n \in \mathbb{N}$  данная треугольная матрица положительных чисел. Матрица суммирования Якимовского определяется производящей функцией

$$\prod_{i=1}^{n} \frac{y + d_{ni}}{1 + d_{ni}} = \sum_{k=0}^{n} a_{nk} y^{k}. \tag{10}$$

Положим  $D_n = \sum_{n=0}^{n} A_n = \sum_{n=0}^{\infty} M$ ы получаем непосредственно следующее предложение (см. ( $^9$ )).

Теорема 2. Если  $\inf d_{nl} > 0$ , то для того чтобы матрица  $(a_{nk})$ , определяемая формулами (10), была регулярной, необходимо и достаточно, чтобы

$$\lim_{n\to\infty} D_n = \infty. \tag{11}$$

Доказательство. Необходимость условия (11) очевидна, так как из  $1+x < e^x$  следует, что

$$a_{n0} = \prod_{i=1}^{n} (1+d_{ni}^{-1})^{-1} > e^{-D_n}.$$

Для доказательства достаточности условия (11) установим связь между методом суммирования  $[J, d_{ni}]$  и л. п. о.  $B_n$ . Положим  $\inf d_{ni} = 2\varepsilon$ ,  $x_0 = (1+\varepsilon)^{-1}$ 

Тогда, учитывая (7), (8) и (10), будем иметь  $h_{nl}(x_0) = (1+d_{nl})^{-1}$ ,  $p_{nk}(x_0) = a_{nk}$ .

Так как  $s_n = \varepsilon D_n$ , то условие (11) влечет условие (9), так что  $\{B_n\}$ , соответствующая полюсам (12), является аппроксимирующей и, значит, матрица  $(a_{nk}) = (p_{nk}(x_0))$  регулярна.

Требование  $\ln d_{ni} > 0$  излишне; оно вызвано здесь методом доказательства. Впрочем, в обычно рассматриваемых частных случаях оно выполнено (см. обзор ( $^{10}$ )).

Ленинградский государственный педагогический институт имени А. И. Герцена

#### Վ. Ս. ՎԻԴԵՆՍԿԻ

Գծային դրական օպերատորներով ծնված գումարման ռեգուլյար մատրիցաների մասին

Ищшатедин  $\xi$ , пр  $\iota \beta \iota \delta C[0,1]$ - $\iota g C[0,1]$ 

$$L_n(f; x) = \sum_{k=0}^n f(\xi_{nk}) p_{nk}(x)$$

տեսքի դրական գծալին օպերատորների  $\{L_n\}$  հաջորդականությունը հանդիսա-նում է մոտարկող, որտեղ  $0=\xi_{n0}<\xi_n<\ldots<\xi_{nn}=1,\ p_{nk}\in C[0,1],\ p_{nk}(x)\gg$   $\ge 0,\ L_n(1,x)=1$  ապա

$$a_{nk} = \int_{0}^{1} p_{nk}(t) d\alpha(t)$$

գումարման մատրիցան ռեգուլ<mark>լար է, որտեղ α-ն ալնպիսի վերջավոր վարիա-</mark>

$$\alpha(0) = \alpha(0+) = 0, \ \alpha(1) = 1$$
:

ուսումնասիրելու համար։ Ոլդ թեորեմն օգտագործվում է Ցակիմովսկու գումարման մեթոդը

#### ЛИТЕРАТУРА— ԳՐԱԿԱՆՈՒԹՅՈՒՆ

<sup>1</sup> F. Hausdorf, Math. Zeitschr., v. 9 (1921). <sup>2</sup> K. Knopp, Math. Zeitschr., v. 15 (1922), v. 18 (1923). <sup>3</sup> K. Knopp, Theorie und Anwendung der unendlicher Reihen. Berlin, 1924. <sup>4</sup> Г. Харди, Расходящиеся ряды. ИЛ, М., 1951. <sup>5</sup> A. Jakimovski, D. Leviatan, Math. Zeitschr., v. 102, № 3 (1967). <sup>6</sup> J. P. King, Canad. Math. Bull., v. 11, № 1 (1968). <sup>7</sup> B. С. Виденский, Изв. АН БССР. Сер. физ.-мат., № 1 (1979). <sup>8</sup> В. С. Виденский, ДАН АрмССР, т. 70, № 3 (1980). <sup>9</sup> A Jakimovski, Michigan Math. Journ., v. 6 (1959). <sup>10</sup> Г. Ф. Кангро, Итоги науки и техники. Мат. анализ, т. 12, 1974.

LXXVIII

1984

-

УДК 519.49

**МАТЕМАТИКА** 

#### В. Д. Мартиросян

# О дистрибутивности решеток подмногообразий многообразий правоальтернативных алгебр

(Представлено чл.-корр. АН Армянской ССР Р. А. Александряном 23/111 1983)

В работе описываются многообразия правоальтернативных алгебр над полем характеристики нуль, решетки подмногообразий которых дистрибутивны, доказывается шпехтовость таких многообразий и приводится список минимальных многообразий правоальтернативных алгебр, решетки подмногообразий которых недистрибутивны. Задача об описании в терминах тождеств многообразий линейных алгебр с дистрибутивными решетками подмногообразий поставлена Л. А. Бокутем (см. (¹), задача 1.19). В работе А. З. Ананьина и А. Р. Кемера (²) описаны многообразия ассоциативных алгебр над полем характеристики нуль, решетки подмногообразий которых дистрибутивны. Аналогичные описания для многообразий альтернативных алгебр и многообразий (—1,1)-алгебр над полем характеристики нуль получены в работах автора (³.4). В работе Ю. Н. Мальцева (⁵) описаны минимальные многообразия ассоциативных алгебр над полем характеристики нуль, решетки подмногообразий которых недистрибутивны.

Пусть K—произвольное поле характеристики нуль,  $S_n$ —симметрическая группа на множестве  $\{1,2,\ldots,n\}$ ,  $KS_n$ —групповая алгебра группы  $S_n$ . V—некоторое многообразие линейных (неассоциативных) алгебр над полем K,  $F=F_V(X)$ —свободная алгебра многообразия V со множеством свободных образующих  $X=\{x_1,x_2,\ldots\}$ , L(V)—решетка подмногообразий многообразия V,  $F_n$ —пространство полилинейных многочленов из F от фиксированных переменных  $x_1,x_2,\ldots,x_n$ .  $F_n$  является левым  $KS_n$ -модулем. Через  $L_n$  обозначим решетку  $KS_n$ -подмодулей в  $F_n$ . Для диаграммы Юнга D через  $e_D$  обозначим соответствующий, пропорциональный идемпотенту элемент из  $KS_n$  (определения разбиения натурального числа, таблицы, соответствующей этому разбиению, и диаграммы Юнга см. в (3)).

Ide accuration (6) and sugar

Из результатов (6) следует

Предложение 1. Пусть V-многообразие линейных алгебр над полем K. Решетка L(V) дистрибутивна тогда и только тогда, когда дистрибутивны решетки  $L_n$  при всех  $n \ge 1$ .

Предложение 2. Решетка  $L_n$  дистрибутивна тогда и только тогда, когда  $KS_n$ -модуль  $F_n$  является прямой суммой неприводимых попарно неизоморфных  $KS_n$ -подмодулей.

Заметим, что решетки L, и L, всегда дистрибутивны.

Из теории представлений группы 5, с помощью диаграмы Юнга и предложения 2 вытекает

Предложение 3. Дистрибутивность решетки  $L_n$  эквивалентна следующему условию: пусть  $\{n_1, \dots, n_l\}$ —любое разбиение числа n, T—соответствующая этому разбиению таблица, D—фиксированная диаграмма Юнга таблицы T, а одночлены  $v_1$ ,  $v_2 \in F_n$  такие, что  $e_D v_1 \neq 0$ ,  $e_D v_2 = 0$  Тогда  $KS_n e_D v_1 = KS_n e_D v_2$ .

Введем некоторые обозначения: [x, y] = xy - yx - коммутатор элементов x и y, (x, y, z) = (xy)z - x(yz) - ассоциатор элементов x, y и z, S(x, y, z) = (x, y, z) + (y, z, x) + (z, x, y),  $(x_1, x_2, x_3) = \sum_{i \in S} (-1)^3 \sigma(x_1 x_2) x_3$ ,  $S_3^2(x_1, x_2, x_3) = \sum_{i \in S} (-1)^0 \sigma x_1(x_2 x_3)$ .

Определения. Алгебра A над полем K называется правоальтернативной (левоальтернативной), если в A выполняется тождество (x, y, y) = 0 ((y, y, x) = 0). Алгебра A называется альтернативной, если A одновременно правоальтернативна и левоальтернативна. Тождество (x, y, y) = 0 называется тождеством правоальтернативности. Правоальтернативная алгебра A называется (-1, 1)-алгеброй, если в A выполняется тождество S(x, y, z) = 0.

Пусть Alt—многообразие всех альтернативных алгебр над полем K.

Теорема 1. Пусть V—многообразие правоальтернативных алгебр над полем K и V  $\subseteq$  Alt. Для дистрибутивности решетки L(V) необходимо и достаточно, чтобы для некоторых  $= \{(\gamma, \delta) \neq (0, 0)\}$  в V выполнялись тождества

$$[x, y]y = \alpha_1(y, x, y),$$
 (1)

$$y[x, y] = \beta_1(y, x, y),$$
 (2)

$$\gamma S_3(x, y, z) + \delta S_3^2(x, y, z) = 0.$$
 (3)

Доказательство теоремы 1 опирается в основном на следующие леммы.

Пемма 1. Пусть V—многообразие правоальтернативных алгебр над полем K и V  $\not\subseteq$  Alt. Для дистрибутивности  $L_3$  необходимо и достаточно, чтобы в V выполнялись тождества (1)--(3).

Доказательство леммы следует из предложения 3.

Лемма 2. Пусть  $\gamma + \delta \neq 0$ . Тогда из (1)—(3) и тождества правоальтернативности вытекает тождество

$$\alpha[x, y]z + \beta z[x, y] = \delta_1 S(x, y, z), \tag{4}$$

 $z \partial e \ \alpha = \beta_1, \ \beta = -\alpha_1, \ \delta_1 = 2(\alpha \delta - \beta \gamma)/3(\gamma + \delta).$ 

Доказательство. Из (1) и (2) следует тождество

$$\alpha[x, y]y + \beta y[x, y] = 0,$$

откуда имеем:

$$\alpha(x, y)y + \beta((yx)y - y^2x) + 2\beta(y, y, x) = 0,$$
 (5)

$$\alpha(xy^2 - y(xy)) + \beta y[x, y] + \alpha(y, y, x) = 0.$$
 (6)

Линеаризуя (5) и (6), получим:

$$\alpha[x, y]z + \alpha[x, z]y + \beta((zx)y - (zy)x +$$

$$+(yx)z-(yz)x)+2\beta((y,z,x)+(z,y,x))=0,$$

$$a(x(yz)+x(zy)-y(xz)-z(xy))+\beta y[x,z]+$$

$$+\beta z[x,y]+a((y,z,x)+(z,y,x))=0.$$
(8)

Умножим (3) на  $(\alpha+\beta)$ , (7) на  $(-\gamma)$ , (8) на  $(-\delta)$  и сложим полученные тождества. Получи :  $(1-2(12))[\alpha\gamma((yz)x-(zy)x)+\alpha\delta(y(zx)-(yx))+\beta\gamma((xy)z-(xz)y)+\beta\delta(x(yz)-x(zy))]=(2\beta\gamma+\alpha\delta)((y,z,x)+(z,y,x))$ , откуда, обозначая выражение в квадратных скобках через f, имеем:

$$f = -\frac{23\gamma + \alpha\delta}{3} [(z, x, y) + (y, z, x) - 2(x, y, z)],$$

что после несложных преобразований приводит к тождеству (4).

Замечание 1. Пусть  $\gamma + \delta = 0$ . Тогда многообразие V правоальтернативных алгебр, удовлетворяющих тождеству (3), будет многообразием (-1, 1)-алгебр, и, следовательно, утверждение теоремы 1 в этом случае справедливо в силу результата работы (4). Ввиду этого далее будем считать, что  $\gamma + \delta \neq 0$ .

Имеют место следующие утверждения:

Лемма 3. Из (1), (2) и тождества правоальтернативности вытекают следующие тождества:

$$[[x, y], z] = \gamma_1(z, x, y) + \frac{2 - \gamma_1}{3} S(x, y, z), \tag{9}$$

$$[xy,z] = \alpha'(x,y,z) + \beta'(z,x,y) + \gamma'S(x,y,z),$$
 (10)

 $a\partial e \ \gamma_1 = \alpha_1 - \beta_1, \ \alpha' = \alpha_1 + \beta_1 + 2, \ \beta' = \alpha_1 + 1, \ \gamma' = -(2\alpha_1 + \beta_1 + 2)/3.$ 

Лемма 4. Пусть  $\delta_1 \neq 0$ ,  $\gamma_1 \neq 0$ , V-мчогообразие правоальтернативных алгебр, удовлетворяющих тождествам (4), (9) и (10), F(x,y)-свободная алгебра ринга 2 многообразия V. Тогда одночлены из F(x,y) степени  $\geqslant 4$  коммутативно-ассоциативны и для любых одночленов  $v_1, v_2 \in F$ , в многообразии V выполнены тождества  $t^2(v_1-v_2)=(v_1-v_2)t^2=0$ . Если, кроме того,  $a'\neq 0$ , то для некоторых  $\omega_1$ ,  $\omega_2 \in K$ ,  $(\omega_1, \omega_2) \neq (0,0)$ , в V выполняется тождество  $\omega_1(x^2, y, z)+\omega_2(y, z, x^2)=0$ .

Из доказательства теоремы 1 получено следующее

Следствие. Пусть V-многообразие правоальтернативных алгебр, удовлетворяющих тождествам (4) и (10). Тогда  $\dim F_n \leq n+1$  при n>4 Более того, если выполнены условия  $(\alpha,\beta,\gamma)\neq (0,1,0)$ ,  $(\alpha\delta-\beta\gamma,\alpha,\gamma)\neq (0,\beta,\delta)$ ,  $(\alpha\delta-\beta\gamma,\alpha,\beta)\neq (0,-2,-1)$ , то  $\dim F_n \leq 1$  при  $n \geq 7$ .

Определение. Многообразие линейных алгебр W называется шпехтовым, если любое подмногообразие  $U \subseteq W$  конечнобазируемо, т. е. может быть задано конечным множеством тождеств.

Teopema 2, Пусть V-многообразие правоальтернативных алгебр над полем K, решетка подмногообразий которого дистрибутивна. Тогда V шпехтово.

Доказательство теоремы 2 основывается на следствии из теоремы 1.

В связи с утверждением теоремы 1 и результатом работы (3) возникает задача об описании минимальных многообразий правоальтернативных алгебр с недистрибутивными решетками подмногообразий:

Теорема 3. Многообразие V правоальтернативных алгебр над полем К характеристики нуль является минимальным многообразием с недистрибупивной решеткой подмногообразий тогда и только тогда, когда V—нильпотентное индекса 4 многообразие, задаваемое тождествами одного из следующих множеств:

$$T_{1} = \{(y, x, y) = x^{3} = [x, y]y = y[x, y] = 0\},\$$

$$T(\omega_{1}, \omega_{2}, \omega_{3}) = \{x^{3} = S_{3}^{1}(x, y, z) = S_{3}^{2}(x, y, z) = 0\},\$$

$$= \omega_{1}[x, y]y + \omega_{2}y[x, y] + \omega_{3}(y, x, y) = 0\},\$$

 $zde \ \omega_1, \ \omega_2, \ \omega_3 \in K, \ (\omega_1, \ \omega_2, \ \omega_3) \neq (0, 0, 0).$ 

Замечание 2. Утверждения теорем 1—3 остаются в силе, если V—многообразие левоальтернативных алгебр над полем K.

В заключение автор выражает глубокую благодарность В. А. Артамонову за внимание к работе.

Ереванский государственный университет

#### Վ. Ջ. ՄԱՐՏԻՐՈՍՅԱՆ

Աջ ալտեrնատիվ հանrահաշիվների բազմաձևությունների ենթաբազմաձևությունների կավարների բաշխականության մասին

Հողվածում նույնությունների լեղվով նկարագրվում են զրո բնութագրիչի դաշտի վրա որոշված գծալին աջ ալտերնատիվ հանրահաշիվների այն բազմաձևությունները, որոնց ենթաբազմաձևությունների կավարները բաշխական են։ Ապացուցվում է, որ եթե դրո բնութագրիչի դաշտի վրա որոշված աջ ալտերնատիվ հանրահաշիվների բազմաձևության ենթաբազմաձևությունը շպեխտյան է, այսինքն նրան կամալական ենթաբազմաձևություն կարելի է տալ վերջավոր քանակությամբ նույսություններով։

Հոդվածում բերվում է զրո բնութագրիչի դաշտի վրա որոշված աջ ալտերնատիվ Հանրահաշիվների այն մինիմալ բաղմաձևությունների թվարկումը, որոնց ենթաբաղմաձևությունների կավարները բաշխական չեն։

#### ЛИТЕРАТУРА — ЭГЦЧЦЪПЪРЗПЪЪ

<sup>1</sup> Днестровская тетрадь, Ин-т математики СО АН СССР. Новосибирск, 1982. <sup>2</sup> А. З. Ананьин, А. Р. Кемер, Сиб. мат. журн., т. 17, № 4 (1978). В В. Д. Мартиросян, Мат. сб., т. 118(160), № 1(5) (1982). В Д. Мартиросян, О дистрибутивности решеток подмногообразий многообразий (— 1,1)-алгебр, рукопись деп. в ВИНИТИ 13 июля 1981 г., № 3457—81 Деп. Б.Ю. Н. Мальцев, Мат. исследования, вып. 56 (1980). В А. Артамонов, УМН, т. 33, вып. 2(200) (1978). LXXVIII

1984

5

УДК 519.1

#### ПРИКЛАДНАЯ МАТЕМАТИКА

#### К. О. Егиазарян

# О пространственных обобщенных матрицах Адамара

(Представлено чл.-корр. АН Армянской ССР Р. Р. Варшамовым 4/VII 1983)

1. Начиная с 1970 г. в связи с различными практическими применениями матриц Адамара, такими как коды, исправляющие ошибки, обработка сигналов и т. д., все более возрастает интерес к изучению и построению пространственных матриц Адамара. В этом плане можно указать работы Шлихта (1.2), Эндрюса (3), Хаммера и Себерри (4), Агаяна (5).

Определение 1 (2). n-мерной матрицей Адамара  $[H]_n = \|h_{l_1,\ldots,l_n}\|$  ( $i_1,\ldots,i_n=1,2,\ldots,m$ ) называется такая матрица, состоящая из +1 и -1, в которой все параллельные (n-1)-мерные сечения (сечения ориентаций ( $i_l$ )  $1 \le l \le n$ ) взаимно ортогональны, т. е.

$$\sum_{r} \dots \sum_{i} h_{r...\alpha...z} \overline{h}_{r...\beta...z} = m^{(n-1)} \delta_{\alpha,\beta}, \tag{1}$$

где  $(r \dots t_n)$ , о представляют все перестановки  $(i_1 \dots i_n)$   $(i_1 \dots i_n)$ , о представляют все перестановки  $(i_1 \dots i_n)$ ,  $(i_1$ 

Полностью правильной, или регулярной ( $^5$ ), n-мерной матрицей Адамара является та, в которой все двумерные сечения (плоскости), в любых возможных нормальных осевых направлениях есть матрицы Адамара и, как следствие, все промежуточные k-мерные сечения (2 < k < n) есть также полностью правильные пространственные матрицы Адамара.

В 1962 г. Батсон (6) ввел понятие обобщенной матрицы Адамара (или H(p, m)-матрицы) — ортогональной матрицы порядка m с элементами — корнями p-ой степени из 1, которое содержит в себе известные, практически часто используемые матрицы — Уолша, Фурье (8), Виленкина — Крестенсона — Кронекера (10), а также классические (1) и комплексные (8) матрицы Адамара.

В связи с вышеуказанным возникла задача введения, построения так называемых пространственных обобщенных матриц Адамара  $([H(p,m)]_n$ -матриц), т. е. пространственных матриц с элементами — кориями p-ой степени из 1, которые удовлетворяют условию (1).

Основная задача. Для натуральных чисел p, m и n построить пространственную обобщенную матрицу Адамара  $[H(p,m)]_n$ .

В данной работе введено общее понятие пространственных мат-

риц Адамара, содержащее в себе понятия пространственных матриц Адамара (²), классических (¹) и обобщенных (¹) матриц Адамара. Псследована задача построения пространственных обобщенных матриц Адамара. Приведены эффективные алгоритмы построения как полностью, так и частично правильных пространственных обобщенных матриц Адамара и алгоритмы преобразования этих матриц. Преодолена трудность в описании разных классов пространственных матриц Адамара благодаря введению в рассмотрение алгебраического аппарата умножения многомерных матриц (¹¹).

2. Обозначим через  $[A]_n = \|A_{i_1} \dots \| [B]_n = \|B_{j_1 \dots j_r}\| (i_1, \dots, i_n, j_1, \dots, j_r = 1, \dots, m)$  соответственно n-мерную и r-мерную матрицы m-го порядков.  $(r, \mu)$ -свернутым прои ведением  $(r, \mu)$  матрицы  $[A]_n$  на  $[B]_n$  по индексам разбиений s и c называется матрица  $[D]_t$ , если

$$[D]_{t} = ||D_{tsh}|| = {}^{\lambda + ([A]_{n}[B]_{r})} = ||\sum_{(i)} A_{tsc}B_{csk}||, \qquad (2)$$

где  $h=x+t+\mu$ ;  $r=\lambda+\mu+\nu$ ;  $l=(l_1, l_2, \ldots, l_n)$ ;  $s=(s_1, s_2, \ldots, s_k)$ ;  $c=(c_1, c_2, \ldots, c_n)$ ,  $k=(l_1, k_2, \ldots, k_n)$ ,  $t=n+r-\lambda-2$ .

Пусть теперь H'-n-мерная магрица порядка m, а H''-сопряженная к ней матрица, и  $H'_t$  и  $H'_t$ -матрицы H' и H'' соответственно, транспонированные по определенным индексам (11) (t-фиксированное натуральное число).

Определение 2. n-мерную матрицу  $H_i$ , порядка m назовем  $(\ell, \mu)$ -ортогональной по всем нормальным осевым направлениям, если для натуральных  $\lambda$ ,  $\mu$  ( $\mu \neq 0$ ) выполняется система уравнений:

$$\begin{cases} \lambda, \mu(H', H'_t) = m^{\mu} E(L, k) \\ t = 1, 2, \dots, N \end{cases}$$
 (3)

где  $k = n - \lambda - \mu$ ;  $E(\lambda, k) - (\lambda + 2k)$ -мерная единичная матрица (11), а  $N = \frac{n!}{2!} \frac{n!}{2!} \frac{k!}{\mu!} \frac{k!}{k!}$ , если  $\mu = k$ 

Замечание 1. Понятие (х, р)-ортогональной пространственной матрицы совпадает с понятиями:

а) пространственной обобщенной матрицы Адамара  $|H(p,m)|_n$  при  $\lambda + \mu = n-1$  и если эл менты матрицы  $H'_i$  являются корнями p-ой степени из 1. Выделим следующие случаи:

—при  $\lambda = 0$ ,  $\mu = n-1$  имеем (общую) n-мерную обобщенную матрицу Адамара. Система (3) запишется как

$$\begin{cases} \text{где } H'_{t} = H'\begin{pmatrix} l_{1}l_{1} & l_{1}l_{2} & l_{1}l_{1} \\ l_{2}l_{2} & l_{1}l_{1} \end{pmatrix}; \ H'_{t} = H''\begin{pmatrix} l_{1}l_{1} & l_{1}l_{1} \\ l_{2}l_{2} & l_{1}l_{1} \end{pmatrix}; \\ t = 1, 2, \dots, n \end{cases}$$
(4)

—при  $\lambda = n-2$ ,  $\mu = 1$  имеем полностью правильную n-мерную обобщенную матрицу Адамара, если выполняется следующая система из n(n-1)/2 уравнений, полученная из (3):

$$\begin{cases} n^{-2.1}(H'_{t_1,t_1}H'_{t_2,t_1}) = mE(n-2,1) \\ \text{где } H'_{t_1,t_2} = H'\binom{i_1...i_{t_1-1}t_1t_2t_2+1...t_n}{i_2...i_{t_1}i_1i_nt_2...i_{n-1}} \\ H''_{t_1,t_2} = H''\binom{i_1...t_{t_1-1}t_1t_2t_2+1...t_n}{i_2...t_{t_1}i_nt_1t_2...t_{n-1}} \\ t_1 = 1, 2, ..., n-1; t_2 = t_1 + 1, ..., n \end{cases}$$

$$(5)$$

Заметим, что при n=2 система (3) совпадает с известным ( $^6$ ) матричным уравнением в определении обобщенной матрицы Адамара;

б) пространственной (специальной) ортогональной матрицы, если (3)  $k=2,3,\ldots,n-1$  и ортогональность по множеству направлений  $(l=1,\ldots,n)$ .

Замечание 2. Если система (3) выполняется для  $\iota = \iota_0$  ( $\mu = \mu_0$ ), то она выполнится и для  $\iota = \iota_0$  ( $\mu = \mu_0$ ).

- 3. Алгоритм построения пространственных обобщенных матриц Адамара. Приведем рекуррентный метод построения n-мерной обобщенной матрицы Адамара порядка  $m: \lceil l/\rceil_n = \|h_{l_1 l_1}^{(n)}\|_{l_1 l_2}\|_{l_1 l_2}\|_{l_1 l_2}\|_{l_1 l_2}=\|h_{l_1 l_3}\|_{l_1 l_2}=\|h_{l_1 l_3}\|_{l_1 l_2}=\|h_{l_1 l_3}\|_{l_1 l_2}=\|h_{l_1 l_3}\|_{l_1 l_2}=\|h_{l_1 l_3}\|_{l_1 l_2}=\|h_{l_1 l_3}\|_{l_1 l_3}=\|h_{l_1 l_3}\|_{l_1 l_2}=\|h_{l_1 l_3}\|_{l_1 l_3}=\|h_{l_1 l_3}\|_{$
- а) Пусть построена k-мерная обобщенная матрица m-го порядка  $\|H\|_{\infty} = \|h\|_{\infty}$ ,  $\|f_1, f_2, \dots, f_k = 0, 1, \dots, m-1$ . Строим матрицу  $\|f_1, f_2, \dots, f_k = 0, 1, \dots, m^2 1$ , полученную прямым произведением матрицы  $\|f_1\|_k$  на себя. Тогда

$$[A]_{h} = [a_{mi_{1}+j_{1},...,ml_{k}+j_{k}}^{(h)}] = [h_{i_{1},...,i_{k}}^{(h)} \cdot h_{j_{1},...,j_{k}}^{(h)}], (i_{1}, ..., i_{k}, j_{1}, ..., j_{k} = 0, 1, ..., m-1).$$

$$= 0, 1, ..., m-1).$$

$$(6)$$

б) Определим (k+1)-мерную матрилу m-го порядка

$$|H|_{k+1} = ||h_{i,l_2...l_{k+1}}^{(k+1)}|| = ||a_{(m+1)l_1...(m+1)}^{(k)}||_{k=1, m, k+l_{k+1}}^{(k+1)}|,$$
 (7)

являющуюся пространственной обобщенной матрицей Адамара.

Имея конструкцию матрицы  $[H]_2$ , равенства (6) и (7), получим n-мерную обобщенную матрицу Адамара

$$|H|_{n} = ||\gamma|^{l-2} 2^{n-l-1} \cdot |(1 + \gamma(i_{1}, i_{n}))|$$

$$|H|_{n} = ||\gamma|^{l-2}$$
(8)

Алгоритм построения полностью правильных пространственных обобщенных матриц Адамара. Пусть  $|B|_2 = |b|_1 = (-1 - Hp, p)$ —обобщенная матрица Адамара, построенная по матрице Вандермонда (6). Матрицу  $|B| = |b|_1 = (i_1, i_2, \dots, i_n) = 0$ , 1, ... p-1), (n>2), определим рекуррентным способом:

$$||b_{i_1i_2i_3...i_n}^{(n)}|| = ||b_{i_1+i_n,i_2+i_n,i_3,...,i_{n-1}}^{(n-1)}||$$

или же

$$||b_{i_1i_2i_3...i_n}^{(n)}|| = ||b_{i_1+i_3+...+i_n}^{(2)}|| = ||\gamma_p^{(i_1+i_3+...+i_n)(i_2+i_3+...+i_n)}||.$$
(10)

Далее проверяется, что матрицы  $|B|_n(n=2,3,\ldots)$ —полностью правильные пространственные обобщенные матрицы Адамара.

4. В этой части дадим некоторые приложения пространственных обобщенных матриц Адамара в дискретных ортогональных преобразованиях, в частности, пространственных унитарных преобразованиях.

Представим многомерное дискретное ортогональное преобразо-

вание в матричном виде

$$[A]_s = {}^{\lambda,\mu}([H]_n[X]_s), \tag{11}$$

где  $n=\lambda+2\mu$ ,  $s>+\mu$  здесь  $|X|_s$ -входная, а  $|A|_s$ -выходная s-мерные матрицы порядка m,  $|H|_s$ -ортогональная матрица, в частности, n-мерная обобщенная матрица Адамара.

Обратное преобразование от (11) запишем в следующем виде:

$$[X]_s = \lambda' \cdot \mu' ([H]_n^{-1} [A]_s), \qquad (12)$$

где  $n = \lambda' + 2\alpha'$ , причем

$$\lambda',\mu'([H]_n^{-1}[H]_n) = E(\lambda,\mu).$$
 (13)

В работе (4) описано дискретное преобразование Адамара от двух переменных, являющееся частным случаем вышеуказанного преобразования, которое записывалось следующим матричным уравнением:

$$[A]_{2} = [W]_{3}[X]_{2}. \tag{14}$$

где  $[X]_2$ ,  $[A]_2$  соответственно входная и выходная (квадратная) матрицы порядка m и  $[W]_3$ —Уолш 3-куб (Хаар 3-куб, или другая ортогональная кубическая матрица). Обратное преобразование от (14) записывалось как

$$[X]_2 = [W]_3^{-1}[A]_2, (15)$$

где  $[W]_3^{-1}$  обратная матрица  $[W]_3$ .

Рассмотрим пример многомерного дискретного ортогонального преобразования пространственных обобщенных матриц Адамара.

Имеем входную s-мерную матрицу  $[X]_s$ . Равенство (11) запишем в виде

$$[A]_s = ^{n-2,1}([H|_n[X]_s),$$
 (16)

и, если выполняется

$$^{n-2,1}([H]_{n}^{-1}[H]_{n}) = E(n-2, 1),$$
 (17)

то умножив обе части (16) слева ((n-2,1)-свернутым произведением) на  $[H]_n^{-1}$ , получим обратное ортогональное преобразование к (16)

$$n-2,1$$
 ( $[H]_n^{-1}[A]_s$ ) =  $n-2,1$  ( $[H]_n^{-1}[A]_s$ ) =

$$=^{n-2,1}(^{n-2,1}([H]^{-1}[H]_n)[X]_s)=^{n-2,1}(E(n-2,1)[X]_s)=[X]_s.$$
 (18)

Пусть теперь

$$[H]_n = [H_{i_1 i_2 \dots i_n}] = [\gamma_p^{(i_1 + i_2 + \dots + i_n)(i_1 + i_2 + \dots + i_n)}], \quad (i_1, i_2, \dots, i_n = 0, 1, \dots, p-1) \quad (19)$$

n-мерная обобщенная матрица Адамара. Равенство (17) выполняется при  $[H]_n^{-1} = \left\| \frac{1}{p} \overline{H}_{n-1}^{(i_1+i_2+\dots+i_n)(i_1+i_2\dots+i_{n-1})} \right\|$ . Запишем (18), исполь уя (19):

206

$$||X_{l_1 l_{n-1} l_n}|| = \left| \left| \frac{1}{p} \sum_{j=0}^{p-1} \tau_p^{-j} (l_1 + l_2 + \dots + l_{n-1} + j) (l_2 + l_2 + \dots + l_{n-1}) A_{j l_{n-1} l_n} \right|.$$
 (20)

Теперь по матричному уравнению (16) и (20) получим тождество

$$\|X_{i_{1}l_{2}...i_{s}}\| = \left\| \frac{1}{p} \sum_{j=0}^{p-1} \gamma_{p}^{-(i_{1}+i_{2}+...+i_{n-1}+j)(i_{1}+i_{2}+...+i_{n-1})} \times \sum_{i=0}^{p-1} \gamma_{p}^{(i+l_{2}+...+i_{n-1}+i)(i_{2}+...+i_{n-1}+i)} X_{il_{2}...l_{s}} \right\| =$$

$$= \left\| \frac{1}{p} \sum_{i=0}^{p-1} \gamma_{p}^{(i-i_{1})[i+l_{1}+i_{2}+2(i_{2}+...+i_{n-1})]} \sum_{j=0}^{p-1} \gamma_{p}^{j(i-l_{1})} X_{il_{2}...l_{s}} \right\| = \|X_{i_{1}i_{2}...i_{s}}\|,$$

которое доказывает правильность выбора [Н], пространственной обобщенной матрицы Адамара (полностью правильной).

Автор выражает признательность С. С. Агаяну за постановку задачи.

Вычислительный центр Академии наук Армянской ССР и Ереванского государственного университета

#### 4. 0. հղիկջկրցևՆ

# Հադամաբի տաբածական ընդնանբացված մատրիցաների մասին

Աշխատանքում տրված է Հաղամարի տարածական մատրիցաների ընդհանուր սահմանումը, որն ընդգրկում է իր մեջ Հադամարի դասական, տարածական և ընդհանրացված մատրիցաների գաղափարը։ Ուսումնասիրված է
Հաղամարի տարածական ընդհանրացված մատրիցաների կառուցման խնդիրը։
Բերված են Հաղամարի մասնակի և լրիվ կանոնավոր տարածական ընդհանրացված մատրիցաների կառուցման և արագ ձևափոխման ալգորիժմներ, մասնավորապես եթե գոյություն ունի Հադամարի ընդհանրացված մատրիցա,
ապա՝ կառուցվում է ո-չափանի (կամայական ո-ի համար) Հադամարի ընդհանրացված մատրիցա նույն պարամետրերի և Վանդերմոնդի մատրիցայից
կառուցվում են լրիվ կանոնավոր Հադամարի տարածական ընդհանրացված
մատրիցաներ։ Տարածական մատրիցաների բազմապատկման հանրահաշվական մեթոդի շնորհիվ հաղթահարված են Հադամարի տարածական մատրիցաների տարբեր դասերի նկարագրման դժվարությունները։

#### ЛИТЕРАТУРА — ԳՐԱԿԱՆՈՒԹՅՈՒՆ

<sup>1</sup> P. J. Shlichta, Bull. Amer. Phys. Soc., ser. 11, v. 16. p. 825—826 (1971).

<sup>2</sup> P. J. Shlichta, IEEE Trans. on Inform. Theory, v. 1T—25, № 5, p. 566—572 (1979).

<sup>3</sup> H. C. Andrews (²). <sup>4</sup> J. Hammer. J. Seherry. IEEE Trans. on Inform. Theory, v. IT—27. № 6, p. 772—779 (1981). <sup>5</sup> C. C. Агаян. ДАН АрмССР. 72, № 3, 131—134 (1981).

<sup>6</sup> A. T. Butson, Proc. Amer. Math. Soc., v. 13, p. 894—898 (1962). <sup>1</sup> M. Холл. Комбинаторика, Мир. М., 1970. <sup>8</sup> R. J. Turyn, In: Combin. Structures and their Applications, Gordon and Breach, N. Y., 1970. <sup>9</sup> Л. Рабинер, Б. Гоулд. Теория и применение цифровой обработки сигналов, Мир. М., 1978. <sup>10</sup> А. М. Трахтман. В. А. Трахтман, Основы теории дискретных сигналов на конечных интервалах, Сов. рагано, М. 1975. <sup>11</sup> Н. П. Соколов, Введение в теорию многомерных матрии, Наукова думка, Киев, 1972.

LXXVIII

1984

**МЕХАНИКА** 

УДК 539.3

#### Г. Е. Багдасарян

# Динамическая устойчивость сверхпроводящей цилиндрической оболочки в магнитном поле нестационарного тока

(Представлено академиком АН Армянской ССР С. А. Амбарцумяном 23/III 1983)

Задачи устойчивости сверхпроводящих цилиндрических оболочек при стационарном токе рассмотрены в работах (1,2). В данной работе рассматривается задача динамической устойчивости сверхпроводящей цилиндрической оболочки, по направлению образующей которой течет нестационарный поверхностный ток. Установлена возможность потери динамической устойчивости невозмущенного состояния. Получены формулы для определения критических частот параметрического резонанса и ширины областей неустойчивости.

1. Пусть круговая бесконечная замкнутая цилиндрическая оболочка постоянной толщины 2h и радиуса срединной поверхности R отнесена к триортогональной системе координат  $\alpha$ ,  $\beta$ ,  $\gamma$  так, что координатные линии  $\alpha$  и  $\beta$  совпадают с линиями кривизны срединной поверхности, откладываемыми соответственно вдоль образующей и по дуге.

Считается, что оболочка изготовлена из упругого изотропного материала и покрыта тонким слоем сверхпроводящего сплава (например Nb<sub>3</sub>S<sub>n</sub>), толщина которого намного больше глубины проникновения магнитного поля в сверхпроводник (обычно порядка 10<sup>-6</sup> см). Материал оболочки характеризуєтся модулем упругости *Е*, коэффициентом Пуассона и плотностью р. Электромагнитные свойства среды, окружающей оболочку, эквивалентны свойствам вакуума. Принимается, что влиянием токов смещения на возмущенное магнитное поле можно пренебречь. В отношении тонкой оболочки считается справедливой гипотеза недеформируемых нормалей.

Пусть по поверхности оболочки вдоль оси  $\alpha$  транспортируется переменный электрический ток силы J = J(t), вектор линейной плотности которой равен

$$\vec{l} = \frac{J(t)}{2\pi R} \vec{e}_{\alpha} = I(t)\vec{e}_{\alpha}.$$
 (1.1)

Невозмущенное электрическое  $E(E_{\mathfrak{a}}, E_{\mathfrak{b}}, E_{\mathfrak{g}})$  и магнитное  $H(H_{\mathfrak{a}}, H_{\mathfrak{b}}, H_{\mathfrak{b}}, H_{\mathfrak{b}}, H_{\mathfrak{b}})$  поля, возникающие в окружающем пространстве от тока (1.1), вследствие того, что магнитное поле не проникает в толщу сверхпроводника, существуют лишь в области  $H(H_{\mathfrak{b}}, H_{\mathfrak{b}}, H_{\mathfrak{b}})$  Из условий за-

дачи следует, что  $H_{\alpha} = H_{\gamma} = E_{\beta} = E_{\gamma} = 0$  во всем пространстве. А из оставшихся отличных от нуля компонент электромагнитного поля На и  $E_{\alpha}$  в дальнейшем используется только  $H_{\beta}$ , а точнее его значение  $H_8^*$  на поверхности оболочки. Указанное значение  $H_3^*$ , необходимое для определения поверхностного давления, вызванного электромагнитным полем, согласно поверхностному условию  $n_0 \times H = 4 - I/c$  ( $n_0$  единичный вектор внешней нормали к недеформированной поверхности оболочки), определяется формулой

$$H_{\beta}^{+} = \frac{4\pi}{c} I(t).$$
 (1.2)

Вследствие того, что магнитное поле не проникает в область, занимаемую оболочкой, на поверхности оболочки компоненты тензора напряжений Максвелла претерпевают разрыв. Этим разрывом обусловлено появление магнитного давления  $P_0$ , определяемого формулой (3)

$$\vec{P}_0 = -\frac{H^2}{8\pi} \vec{n}_0 = -\frac{2\pi}{c^2} I^2(t) \vec{n}_0. \tag{1.3}$$

Под действием нагрузки  $P_0$  в оболочке устанавливается начальное невозмущенное состояние, характеризующееся усилением

$$T_2^0 = -\frac{2\pi R}{c^2} I^2(t). \tag{1.4}$$

Характеристики возмущенного движения должны удовлетворять нелинейным уравнениям и краевым условиям на деформированной поверхности оболочки. При малых возмущениях эти уравнения и граничные условия аналогично работам (4,5) линеаризуются. Используя известные соотношения гипотезы Кирхгофа-Лява, приходим к линейным уравнениям и граничным условиям возмущенного состояния, полученным в работе (6). В дальнейшем будем рассматривать случай, когда возмущения не зависят от координаты 2. В этом случае линеаризованные уравнения возмущенного движения имеют вид (6)

$$\frac{\partial^2 v}{\partial \beta^2} + \frac{1}{R} \frac{\partial w}{\partial \beta} - \frac{h^2}{3R} \frac{\partial}{\partial \beta} \left( \frac{\partial^2 w}{\partial \beta^2} + \frac{w}{R^2} \right) + \frac{(H_3^+)^2}{4\pi} \frac{1 - v^2}{2Eh} \frac{\partial w}{\partial \beta} = \frac{\rho(1 - v^2)}{E} \frac{\partial^2 v}{\partial t^2}.$$
(1.5)

$$D\left[\frac{\partial^4 w}{\partial \beta^4} + \frac{3}{Rh^2}\left(\frac{\partial v}{\partial \beta} + \frac{w}{R}\right) + \frac{1}{R^2}\frac{\partial^2 w}{\partial \beta^2}\right] + 2\rho h \frac{\partial^2 w}{\partial t^2} - T_2\left(\frac{\partial^2 w}{\partial \beta^2} + \frac{w}{R^2}\right) - \frac{h(H_{\beta}^+)^2}{4\pi}\frac{\partial^2 w}{\partial \beta^2} + \frac{H_{\beta}^+h_{\beta}^-}{4\pi} = 0, \qquad D = \frac{2Eh^3}{3(1-v^2)}.$$

Рассматривая систему уравнений (1.5), замечаем, что она не замкнута. В нее, кроме перемещений и и ш срединной поверхности оболочки, входит неизвестное граничное значение тангенциальной составляющей индуцированного магнитного поля 🛵 на поверхности оболочки. Его определяем, решая уравнения Максвелла для возмущенного состояния SHEDH BERKINA

$$rot \, h = 0, \quad \text{div } h = 0, \tag{1.6}$$

при следующем поверхностном условии (6)

$$h_{\gamma}|_{\gamma=h} = H_{\beta}^{+} \frac{\partial w}{\partial \beta} . \tag{1.7}$$

2. Для определения возмущенного магнитного поля h введем потенциальную функцию ф посредством

$$h = \operatorname{grad} \varphi.$$
 (2.1)

Тогда задача определения h во внешней области согласно (1.6), (1.7) и (1.2) приводится к решению следующей внешней задачи Неймана для круга ( $\gamma > h$ )

$$\Delta \varphi = \frac{1}{R + \gamma} \frac{\partial}{\partial \gamma} \left[ (R + \gamma) \frac{\partial \varphi}{\partial \gamma} \right] + \frac{R^2}{(R + \gamma)^2} \frac{\partial^2 \varphi}{\partial \beta^2} = 0,$$

$$\frac{\partial \varphi}{\partial \gamma} \Big|_{\gamma = h} = -\frac{4\pi}{c} I(t) \frac{\partial w}{\partial \beta}.$$
(2.2)

Решение задачи (2.2) представляется посредством интеграла Дини ( $^{1}$ ). Из этого решения в силу (2.1) для  $h_{\beta}^{+}$  найдем

$$h_{\beta}^{+} = -\frac{2I(t)}{cR} \int_{0}^{2\pi} \frac{\sin(\theta - \xi)}{1 - \cos(\theta - \xi)} \frac{\partial w}{\partial \xi} d\xi, \quad \theta = \frac{\beta}{R}. \quad (2.3)$$

Подставляя (1.2), (1.4) и (2.3) в систему (1.5) и пренебрегая влиянием тангенциальных сил инерции, рассматриваемую задачу динамической устойчивости можно свести к исследованию следующего интегро-дифференциального уравнения с переменными коэффициентами:

$$\frac{D}{R^{4}} \left( \frac{\partial^{4} w}{\partial \theta^{4}} + 2 \frac{\partial^{2} w}{\partial \theta^{2}} + w \right) + 2\rho h \frac{\partial^{2} w}{\partial t^{2}} +$$

$$+ \frac{2\pi l^{2}(t)}{Rc^{2}} \left[ \frac{\partial^{2} w}{\partial \theta^{2}} - w + \frac{1}{\pi} \int_{0}^{2\pi} \frac{\sin(\theta - \xi)}{1 - \cos(\theta - \xi)} \frac{\partial w}{\partial \xi} d\xi \right] = 0.$$
(2.4)

Решения уравнения (2.4) должны удовлетворять условию замкнутости по координате  $\theta = \beta/R$ 

3. Представляя решение уравнения (2.4) в виде  $w = f_n(t)\cos n\theta$  ( $n=2,3,\ldots$ ), удовлетворим условию замкнутости, а для определения неизвестных функций  $f_n(t)$  из (2.4) получим дифференциальные уравнения

$$\frac{d^2 f_n}{dt^2} + 2 \delta_n [1 - 2\mu_n(t)] f_n(t) = 0, \qquad (3.1)$$

где  $\Omega_{0\eta}$ —частоты собственных поперечных колебаний оболочки в от-

сутствие электрического тока, 
$$\Omega \delta_n = \frac{D(n^2-1)^2}{2\rho h R^4}$$
,  $\mu_n(t) = \frac{2\pi R^3}{D(n+1)^2} \frac{I^2(t)}{c^4}$ .

В качестве примера рассмотрим случай, когда по образующим цилиндра течет гармонический электрический ток с вектором линейной плотности  $I(t) = (I_0 + I_1 \cos \omega t)e_\alpha$ . Тогда уравнения (3.1) принимают вид

$$\frac{d^{2}f_{n}}{dt} + 2_{n}(1 - 2\mu_{1n}\cos\omega t - 2\mu_{2n}\cos2\omega t)f_{n} = 0, \qquad (3.2)$$

$$\Omega_n^2 = \Omega_{0n}^2 - \gamma_n^2 \frac{I_1^2 + 2I_0^2}{2c^2}, \quad \gamma_n^2 = \frac{\pi(n-1)^2}{\rho h R}$$

$$\mu_{1n} = \frac{\gamma_n^2}{\Omega_n^2} \frac{I_0 I_1}{c^2}, \quad \mu_{2n} = \frac{\gamma_n^2}{\Omega_n^2} \frac{I_1^2}{4c^2}.$$
(3.3)

В (3.3)  $\Omega_n$  — частоты поперечных колебаний оболочки, несущей стационарный ток;  $\mu_{1n}$  и  $\mu_{2n}$  — коэффициенты возбуждения.

Из (3.2) в случае, когда по образующим цилиндра течет постоянный ток ( $I_1=0$ ), легко найти критическую величину плотности этого тока  $I_{\bullet \bullet} = c \, \Omega_{0n}(\gamma_n)^{-1}$ , при которой цилиндрическая оболочка теряет статическую устойчивость ( $^2$ ).

Уравнение (3.2) имеет периодические коэффициенты и, как известно (<sup>8.9</sup>), при некоторых соотношениях между коэффициентами имеет неограниченно возрастающие решения. Границы областей главного параметрического резонанса согласно (<sup>9</sup>) определяются следующими приближенными формулами:

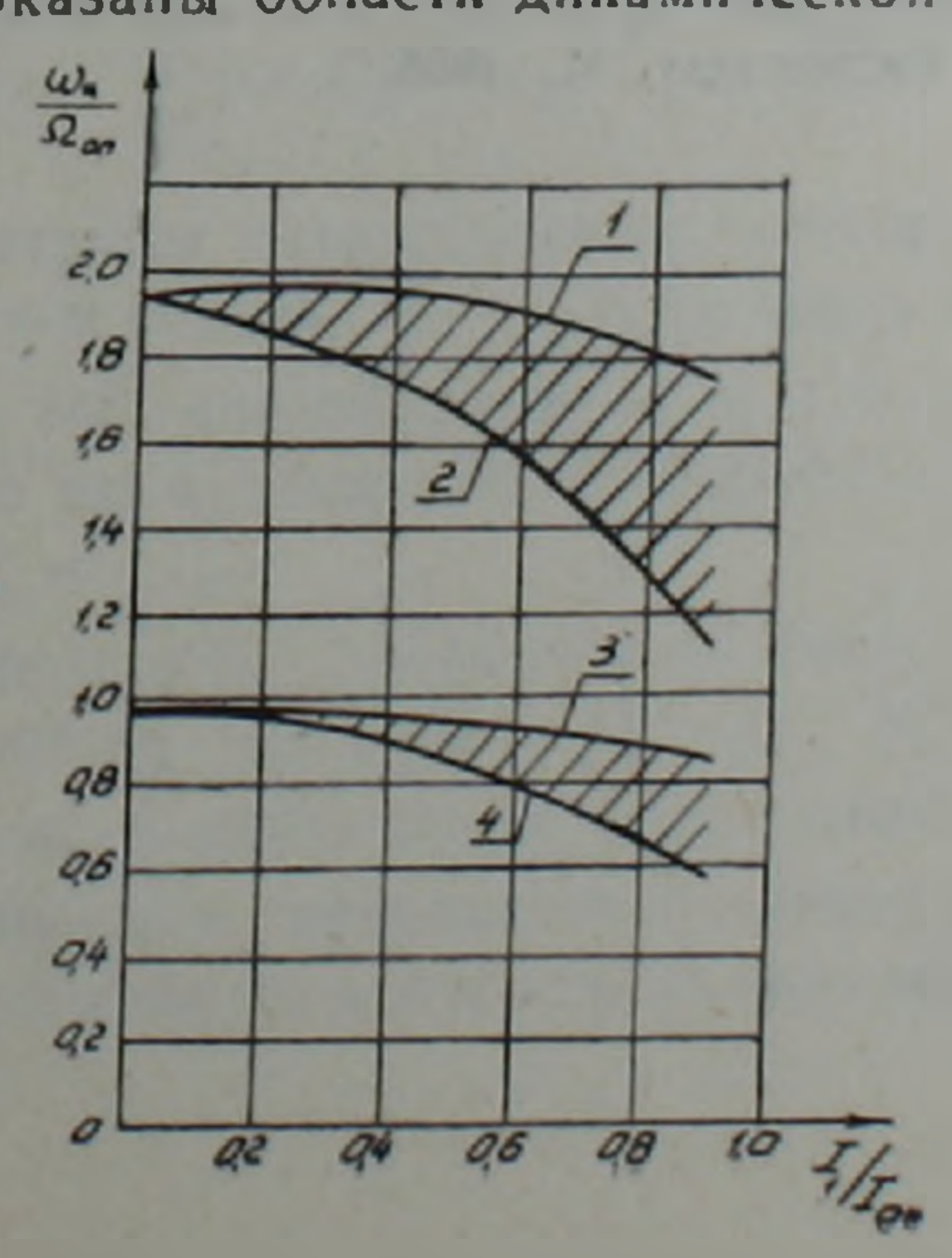
для области, расположенной вблизи частоты  $2\Omega_n$ ,

$$\frac{\omega_*}{\Omega_{0n}} = 2\sqrt{1 \pm \mu_{1n}} = 2\left[1 - \left(\frac{I_0}{I_{0*}}\right)^2 - \frac{1}{2}\left(\frac{I_1}{I_{0*}}\right)^2 \pm \frac{I_0}{I_{0*}} \cdot \frac{I_1}{I_{0*}}\right]^{\frac{1}{2}}, \quad (3.4)$$

для области, расположенной вблизи частоты  $\Omega_n$ 

$$\frac{\omega_*}{\Omega_{0n}} = \sqrt{1 \pm \mu_{2n}} = \left[1 - \left(\frac{I_0}{I_{0*}}\right)^2 - \frac{1}{2} \left(\frac{I_1}{I_{0*}}\right)^2 \pm \frac{1}{4} \left(\frac{I_1}{I_{0*}}\right)^2\right]^{\frac{1}{2}}.$$
 (3.5)

На рисунке показаны области динамической неустойчивости обо-



лочки при  $4I_0=I_{\bullet\bullet}$ . Кривые I и 2 построены по уравнению (3.4), а кривые 3 и 4—по уравнению (3.5). Из рисунка видно, что ширины областей неустойчивости увеличиваются с увеличением амплитуды плотности тока. Формулы (3.4) и (3.5) показывают: а) при достаточно малых эначениях  $I_0$  важной является область неустойчивости, расположенная вблизи частоты  $\Omega_n$ ; б) ширины обеих областей являются монотонно возрастающими функциями величины  $I_0$ .

Институт механики Академии наук Армянской ССР

#### Գ. Ե. ԲԱՂԴԱՍԱՐՑԱՆ

Ոչ ստացիոնաr հոսանքի մագնիսական դաշտում գտնվող գեrնաղուդիչ գլանային թաղանթի դինամիկական կայունությունը

Դիտված է գերհաղորդիչ գլանային թաղանթի դինամիկական կայունությունը մագնիսական դաշտում, որը ստեղծված է գլանի ծնիչների ուղղությամբ հոսող ոչ ստացիոնար մակերևութային հոսանքի կողմից Հարմոնիկ էլեկտրական հոսանքի դեպքում հաստատված է չգրդռված վիճակի դինամիկական կայունության կորուստ։ Ստացված են բանաձևեր պարամետրական ռեզոնանսի կրիտիկական հաճախականությունների և անկայունության տիրույթների որոշման համար։

#### ЛИТЕРАТУРА — ԳՐԱԿԱՆՈՒԹՅՈՒՆ

1 Р. Н. Овакимян, Изв. АН АрмССР. Механика, т. 22, № 4 (1969). <sup>2</sup> Р. Н. Овакимян, Изв. АН АрмССР. Механика, т. 32, № 3 (1979). <sup>3</sup> Л. Д. Ландау, Е. М. Лифшиц, Электродинамика сплошных сред, Гостехиздат, М., 1957. <sup>4</sup> В. В. Новожилов, Основы нелинейной теории упругости, Гостехиздат, М., 1948. <sup>5</sup> В. В. Болотин, Неконсервативные задачи теории упругой устойчивости, Физматгиз, М., 1961. <sup>6</sup> Г. Е. Багдасарян, П. А. Мкртчян, Изв. АН АрмССР. Механика, т. 34, № 6 (1981). <sup>7</sup> Н. С. Кошляков, Э. Б. Глиер, М. М. Смионов. Уравнения в частных производных математической физики, Высшая школа, М., 1970. <sup>8</sup> Н. В. Мак-Лахлан. Теория и приложения функций Матье, ИЛ, М., 1953. <sup>9</sup> В. В. Лолотин, Динамическая устойчивость упругих систем, Гостехиздат, М.. 1956.

доклады академии наук армянскоя сср 20840400 002 ԳԻՏՈՒРЗՈՒՆՆԵՐԻ ԱԿԱԴԵՄԻԱՑԻ ԶԵԿՈՒՑՑՆԵՐ LXXVIII

уДК 622.692.4.001

**ЭНЕРГЕТИКА** 

### Н. С. Хуршудов

# Формирование системы моделей оптимизации газоснабжения

(Представлено академиком АН Армянской ССР Г. Т. Адонцем 23/11 1983)

Объективные условия развития и функционирования Единой системы газоснабжения страны (ЕСГ) определяют (1) необходимость резервов различной целевой ориентации на магистральных газопроводах (МГ), подземных хранилищах газа (ПХГ), месторождениях и других технологических объектах для обеспечения качественного и бесперебойного газоснабжения потребителей. Целью работы является создание метода выбора структуры потоков газа в ЕСГ и параметров технологических объектов, согласованных с загрузкой системы, режимами транспорта и потребления газа и обеспечивающих надежное газоснабжение.

ЕСГ моделируется как совокупность: а) узлов (i=1,n) — действующих или возможно новых месторождений, потребителей и ПХГ; б) ветвей (j=1,m) — действующих или возможно новых МГ. Период развития представлен временными этапами — рядом лет (t=1,T), в каждом году выделены сезоны  $(\tau=1,\theta)$ . Известно исходное состояние ЕСГ — схема и параметры газопроводной сети — пропускные способности МГ  $(\Pi_l)$ , достигнутая емкость ПХГ  $(V_l)$ . По всем временным этапам заданы суммарная добыча газа в ЕСГ, полная потребность в топливе и двусторонние ограничения на потребление (плюс) или добычу (минус) газа в каждом узле  $(q_{it}, q_{it}^*)$ .

Основа модели-система балансовых уравнений:

$$365 \sum_{j=1}^{m} s_{ij} Q_{ji} = q_{ii}; \quad \sum_{j=1}^{m} c_{\tau} s_{ij} Q_{ji}^{\tau} = q_{ii}, \quad (i = \overline{1, n}); \quad (t = \overline{1, 7}), \quad (1)$$

где  $s_{ij}$ —элемент матрицы инциденций узлы-ветви газопроводной сети,  $c_{-}$ —число суток в  $\tau$ -м сезоне,  $Q_{jt}$ ,  $Q_{-}$ —среднесуточная производительность (поток) j-го МГ, соответственно, за t-й год и  $\tau$ -й сезон t-го года, ограниченные пропускными способностями МГ, достигнутыми к t-му году:  $Q_{jt}$ ,  $Q_{i} \leq \Pi_{jt}$ .

Требуется определить пропускные способности МГ  $\Pi_{jt}$ , обеспечивающие такие потоки газа  $Q_{it}$  и  $Q_{jt}^*$  по МГ и объемы подачи (отбора) газа  $q_{it}$  и  $q_{it}^*$  в узлах по всем временным этапам, при которых достигается минимум приведенных затрат на развитие и функционирование системы за весь период T при выполнении всех огра-

ничений, в том числе обеспечивается уровень надежности газоснабжения (2):

$$R_{t} = \frac{1 - \sum_{k=1}^{K} p_{kt}(q_{t}^{\Sigma} - q_{t}^{(k)})}{q_{t}}, \qquad (2)$$

где  $q_i^{\Sigma}$ —суммарный ресурс газа, выделенный на потребление в t-м году, k, K—индекс и общее число всевозможных аварийных ситуаций (AC), возникающих из-за ненадежности МГ,  $p_{kl}$ —вероятность наступления k-й AC,  $q_i^{(k)}$ —фактическое потребление газа по ЕСГ при наступлении k-й AC.

Целевая функция:

$$\sum_{t=1}^{T} \sum_{\tau=1}^{\theta} \left[ \sum_{j=1}^{m} \beta_{jt} (\Pi_{jt}, Q_{jt}) + \sum_{i=1}^{n} \left\{ E_{tt}(q_{it}, q_{it}) + F_{tt}(q_{it}, q_{it}) + z_{tt}(W_{tt}, \eta_{it}) + \varphi_{tt}(V_{tt}, \rho_{it}) \right\} \right] \to \min.$$
(3)

где  $3_{lt}$ —функция затрат на развитие и функционирование j-го МГ в t-м году при его производительности в  $\tau$ -м сезоне, равной  $Q_{it}$ ,  $E_{tt}$ ,  $F_{it}$ ,  $z_{tt}$ ,  $\varphi_{tt}$ —функции затрат, аналогичные  $3_{lt}$ , соответственно, по пункту потребления, месторождению, второму топливному хозяйству (ВТХ), ПХГ;  $W_{tt}$ ,  $V_{it}$ —емкость, соответственно, ВТХ и ПХГ;  $\eta_{it}$ ,  $\rho_{it}$ —мощность или производительность, соответственно, ВТХ и ПХГ в  $\tau$ -м сезоне t-го года.

Основным содержанием процесса (3) является обеспечение совмещения функций резервов различной целевой ориентации с основной функцией ЕСГ—обеспечением нормальной и среднегодовой загрузки  $(q_{it}, Q_{ft})$ ,

Изложенная задача в рамках ЕСГ или ее отдельных фрагментов отличается большой сложностью и размерностью, и поэтому реализация ее осуществлена на базе метода декомпозиции задач развития ЕСГ ( $^3$ ), заключающегося в разделении задачи на ряд подзадач меньшей размерности с помощью введения дополнительных ограничений на параметры—потоки газа, пропускные способности и коэффициенты загрузки МГ ( $k_\mu$ ), резервные объемы и мощности объектов. Причем область допустимых значений указанных параметров, определяемая на каждом шаге оптимизации как результат минимизации (снижения) ( $^3$ ), последовательно «сужается», что обеспечивает выполнение условий теоремы о сжатом отображении ( $^4$ ) и сходимость всего процесса.

Алгоритм расчета использует аддитивность (в данном случае, линейной) целевой функции (3) и возможность разбиения множества ограничений ( $^3$ ) в пространстве (i, j) и времени (t,  $\tau$ ) и предусматривает организацию циклов оптимизации, в каждом из которых решаются подзадачи (шаги расчета): резервирования (P)—расчета параметров средств резервирования аварийных недоотпусков; регулирования (H)—выбора параметров средств регулирования сезонной неравномерности газопотребления; структурной (C)—оптимизации пото-

ков газа и пропускных способностей МГ. Опишем эти подзадачи на 1-м цикле расчета.

Подзадача P. Здесь разыгрываются все K AC, в каждой из которых разрабатываются мероприятия, обеспечивающие газоснабжение с минимумом функции цели, полученной из (3) исключением из нее переменных с индексами  $\tau$ . Пропускные способности ( $\Pi^{(l-1)}$ ) и распределение годовых объемов газа по узлам ( $q_{it}^{(l-1)}$ ), полученные в цикле l-1 в задаче C, используются как ограничения:

$$Q_{jt}^{(h)} \leqslant \Pi_{jt}^{(l-1)}; \quad q_{it}^{(h)} = q_{it}^{(l-1)}, \tag{4}$$

где индекс (k) соответствует значениям переменных в k-й AC. Балансовое уравнение записывается в виде

$$365 \sum_{l=1}^{n} s_{ll}^{(k)} \cdot Q_{ll}^{(k)} = q_{ll}^{(k)} + y_{ll}^{(k)} + \pi_{ll}^{(k)} \quad (j = \overline{1, m}; \quad t = \overline{1, T}), \tag{5}$$

где  $y_{it}^{(k)}$ —объем газа, поступающий в узел i сверх (миже)  $q_{it}^{(l-1)}$  и используемый на установках, для которых газ не является основным топливом (образующий недоотпуск газа);  $\pi_{it}^{(k)}$ —потери газа.

В качестве дополнительных используются ограничения на  $V_{ll}^{\mu}$ ,  $\eta_{ll}^{\mu}$ , вытекающие из многоцелевого характера функционирования объектов:

$$V_{il}^p + V_{il}^{n(l-1)} = V_{il} \leqslant V_{il}^{\max}; \quad \rho_{il} = \max(\rho_{il}^p, \, \rho_{il}^{n(l-1)})$$
 и т. д., (6)

где p и H—индексы объемов (мощностей), предусмотренные (достаточные) для, соответственно, компенсации недоотпусков и регулирования:  $V^{\mu(l-1)}$ , ...—рассчитаны ("заняты") на l-1 цикле в задаче H.

По результатам имитации K всевозможных AC определяются (как реализации случайного процесса изменения состояний  $EC\Gamma$ ) V а также коэффициенты запаса пропускной способности  $M\Gamma$  для целей компенсации аварийных недоотпусков V

$$k_{ji}^{p} = \frac{\sum_{k=0}^{K} p_{ki} Q_{ji}^{(k)}}{Q_{ji}^{(l-1)}}, \qquad (7)$$

где  $Q_{l}^{(l-1)}$ —значение потока газа, полученное на l-1 цикле в задаче С. k=0 соответствует безаварийной ситуации. Очевидно,  $\sum_{k=0}^{K} p_{kl} = 1$ .

Компоненты целевой функции в подзадаче  $P(^1)$  включают, в том числе: по  $S_{II}$ —энергозатраты, по  $E_I$ —расход (экономию) резервного топлива при компенсации недоотпуска,  $F_{II}$ —затраты на дополнительный фонд скважин, обеспечивающий добычу газа из I-го месторождения сверх I— на нужды компенсации недоотпусков.

Подзадача Н. Здесь минимум целевой функции, полученной из (3) фиксацией переменных без индексов т, достигается варьированием

 $Q^{\tau}$  обеспечивающих  $Q_{i} \leq I^{(i-1)}$  и  $\sum_{\tau=1}^{\tau} q_{i} = q^{(i-1)}$  Ему соответствуют  $V^{\mu}_{i\tau}$ ,  $\rho^{\mu}_{i\tau}$ ,  $V^{\mu}_{i\tau}$ ,  $\eta^{\mu}_{i\tau}$ , на которые накладываются дополнительные ограничения, подобные (6), но с фиксацией  $V^{\mu}_{i\tau}$ ,  $V^{\mu}_{i\tau}$ ,  $V^{\mu}_{i\tau}$ ,  $V^{\mu}_{i\tau}$ , полученных в задаче P. Определяются также коэффициенты запаса пропускной способности для целей регулирования:

$$k_{ii}^{n} = \frac{\frac{1}{\theta} \sum_{i}^{Q_{ii}}}{\max(Q_{ii}^{*})}$$
 (8)

Компоненты целевой функции подзадачи H включают, в том числе: по  $S_{ji}$ —энергозатраты; по E—эффект, полученный за счет разницы в посезонной стоимости топлива при фиксированном годовом объеме газопотребления  $q^{(i)}$ 

Подзадача С. Целевая функция—(3) ,исключая переменные с индексами Координация всего процесса осуществляется введением соотношений, позволяющих совместить на МГ функции резервов различного характера:

$$\Pi_{il} = \frac{Q_{/l}}{k_{il}^{(l)}}; \qquad k^{(l)} = k_{il}^{\text{H.x.}} \cdot k_{jl}^{\text{p}(l)} \cdot k^{\text{H}(l)}, \tag{9}$$

где  $k_{ll}^{\text{m.x.}}$ —коэффициент директивного резерва (2). На  $k_{ll}^{(l)}$  накладываются двусторонние ограничения, "сужаемые" от цикла к циклу.

Реализация системы моделей, осуществленная на примерах оптимизации развития фрагментов ЕСГ с использованием специального (1,5) и универсального (6) программного обеспечения, показала работоспособность метода и его практическую значимость: потребность в ресурсах на развитие системы значительно снижается по сравнению с вариантом, полученным без обеспечения совместимости резервных объемов и мощностей на объектах—в среднем, по металлу на 10%, по капиталовложениям на 8%, а с учетом дисконтирования до 23% на десятилетний период развития.

ВНИИЭ газпром

#### **Ն. Ս. ԽՈՒՐՇՈՒԴՈՎ**

# Գազամատակաrաrման օպտիմիզացման մոդելների նամակաrգի կազմավուումը

Առաջարկվում է գազամատուկարարման Համակարդի օպտիմիզացման մաթեմատիկական մոդել, որը հաշվի է առնում հուսալիության և գազամատակարարման անհավասարաչափության գործոնները։ Բերված է հաշվարկի ալգորիթմը, որը հնարավորություն է տալիս լուծել մեծ չափողականություն ունեցող խնդիրներ, օգտագործելով ելակետային սահմանափակումների բազմության դեկոմպոզիցիայի սկզբունքը։

#### ЛИТЕРАТУРА — ԳՐԱԿԱՆՈՒԲՑՈՒՆ

1 Н. С. Хуршудов, Ю. А. Казарян, Р. А. Газарян, в кн.: Методические вопросм исследования надежности больших систем энергетики, вып. 24, кн. 1, Ереван, 1982. 

2 Надежность систем энергетики. Терминология, вып. 95. Под ред. Ю. Н. Руденко, Наука, М., 1980. В Р. А Газарян, Н. С. Хуршудов, Изв. АН АрмССР. Серия техн. наук, т. 34, № 1 (1981). В Л. Демидович, И. А. Марон, Основы вычислительной математики, Наука, М., 1970. В Н. С. Хуршудов, Р. А. Газарян, в кн.: Автоматизированная система плановых расчетов «Газовая промышленность», ВНИИЭгазпром, М., 1983. В Применение пакетов прикладных программ по экономико математическим методам в АСУ, Статистика М., 1980.

LXXVIII

1984

\_\_\_\_

УДК 666.11.01:538

ФИЗИЧЕСКАЯ ХИМИЯ

Член-корреспондент АН Армянской ССР К. А. Костанян, М. А. Погосян, В. Е. Адамян, З. А. Мурадян

# Некоторые физико-химические и магнитные свойства стекол в системе L<sub>12</sub>O—Fe<sub>2</sub>O<sub>3</sub>—B<sub>2</sub>O<sub>3</sub>

(Представлено 4/V 1983)

Исследование физико-химических свойств оксидных стеклообразующих систем, содержащих окись железа, представляет значительный теоретический и практический интерес, особенно после предсказаний Губанова (1) о возможности существования аморфных магнетиков и появления металлических стекол (2) с интересными ферромагнитными свойствами. Изучение структуры и свойств металлических стекол позволило прийти к выводу, что они ничем не отличаются от обычных стекол. С использованием технологии получения металлических стекол (методом сверхбыстрого охлаждения) был создан ряд ферромагнитных стекол, и в обычных стеклообразующих системах содержащих большое количество окиси железа (3-5).

Настоящая работа посвящена выявлению возможности создания ферромагнитных стекол и изучению некоторых физико-химических свойств в железосодержащих системах, полученных традиционными методами. Объектом изучения служила система Li<sub>2</sub>O—Fe<sub>2</sub>O<sub>3</sub>—B<sub>2</sub>O<sub>3</sub>. В литературе имеются данные о единичных стеклах этой системы, полученных методом быстрого охлаждения и имеющих спонтанный момент (6). Три состава стекол указанной системы были синтезированы и изучены Мазелевым с соавторами (7). Однако исследование магнитных свойств этих стекол носит чисто качественный характер.

Синтез стекол проводили в электрической печи с карборундовыми нагревателями в корундовых тиглях. Варку стекол в количестве 30—50 г производили при температурах 1100—1300° в течение одного часа на воздухе, из реактивов марок «Ч», «ХЧ» и «ОСЧ».

Область стеклообразования определяли путем отливки расплавов в количестве 15—20 г на холодную медную плиту.

Температурный коэффициент линейного расширения (ТКЛР) измеряли на кварцевом дилатометре ДКВ-2 по стандартной методике.

Температурную зависимость магнитной восприимчивости измеряли методом Фарадея (в) в интервале 300—1000°К, в переменных полях 3—8 КЭ. В качестве эталонного образца использовали соль Мора. Относительная ошибка измерения восприимчивости не превышает 1%. Температурную зависимость магнитного момента измеряли методом вибрирующего образца, предложенным Фонером (в). Калибровку установки производили с помощью монокристаллического образца иттриевого граната. Область измеряемых температур 77—300°К, ис-218

пользуемых магнитных полей 3—15 КЭ. Относительная ошибка измерения намагниченности не превышает 3%.

Область стеклообразования в системе  $Li_2O-Fe_2O_3-B_2O_3$  ограничивается следующими пределами концентраций компонентов (мол %):  $B_2O_3$  30—100,  $Fe_2O_3$  0—27,  $Li_2O$  0—58. Область стеклообразования в двойной системе  $Li_2O-B_2O_3$  взята из работы ( $^{10}$ ). Она ограничена содержанием  $Li_2O$  от 0 до 41 мол %. Введение  $Fe_2O_3$  благоприятно влияет на стеклообразование и позволяет получать стекла с более низким содержанием  $B_2O_3$ . Минимальная концентрация  $B_2O_3$  составляет 30, концентрация  $Li_2O$  доходит до 56—58, а концентрация  $Fe_2O_3$  при этом не превышает 15—20 мол %. Максимальное же количество  $Fe_2O_3$ , вводимое в данную систему, составляет 25—27 мол %.

На рис. I показаны зависимости изменения ТКЛР, температуры начала деформации и намагниченности стекол ( $\sigma$ ) в поле 14 КЭ при комнатной температуре от состава по разрезу с постоянным содержанием  $Fe_2O_3=10$  мол %. Полученные данные можно сравнить с дан-

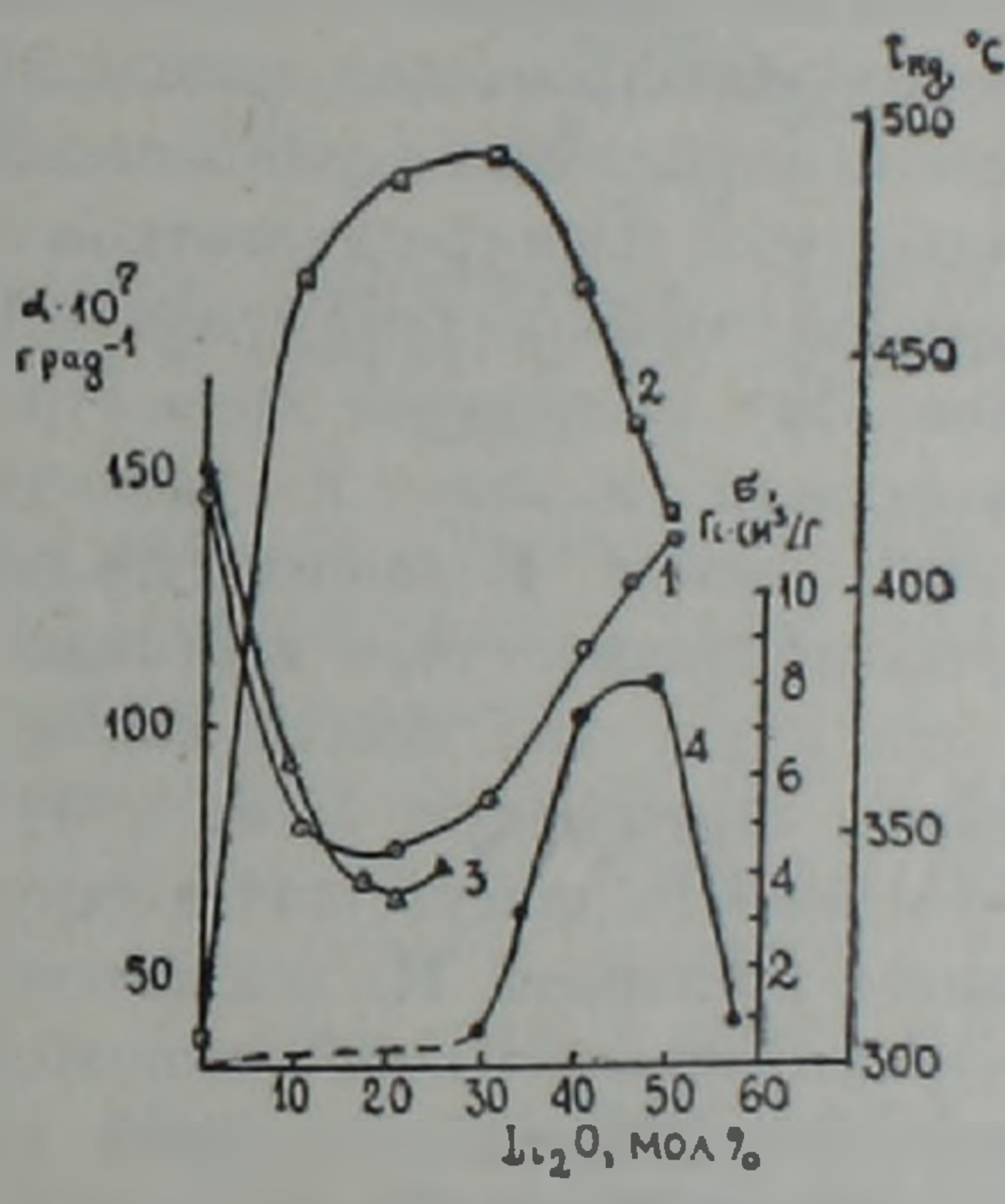


Рис. 1. Изменение ТКЛР, температур начала деформации и намагниченности стекол ( $\sigma$ ) в поле 14 КЭ при комнатной температуре системы  $\text{Li}_2\text{O}-\text{Fe}_2\text{O}_3-\text{B}_2\text{O}_3$  по разрезу с постоянным содержанием  $\text{Fe}_2\text{O}_3=10$  мол%: 1-ТКЛР; 2-температура начала деформации; 3-ТКЛР стекол системы  $\text{Li}_2\text{O}-\text{B}_2\text{O}_3$  по данным Мооре и Макмиллана (( $^{11}$ ), с. 9). ТКЛР стеклообразной  $\text{B}_2\text{O}_3$  по данным Стримте (( $^{11}$ ), с. 32); 4-на-магниченность

ными литературы по изменению ТКЛР системы  $Li_2O - B_2O_3$  (11) (кривая 3). Хотя литературные данные очень скудны и охватывают ограниченную область составов, тем не менее можно констатировать идентичность характера изменения ТКЛР. Исходное стекло  $10Fe_2O_3 \cdot 90B_2O_3$  имеет очень близкий ТКЛР к ТКЛР стеклообразного  $B_2O_3$ . Появление минимума в области содержания  $Li_2O$  20 мол %, видимо, можно связать с координационными превращениями  $B_2O_3$ .

219

Исследование магнитных свойств стекол системы Li2O-Fe2O3-В Оз по разрезу с постоянным содержанием Fe<sub>2</sub>O<sub>3</sub> = 10 мол % показа. ло, что стекла, содержащие до 10 мол % Li<sub>2</sub>O, парамагнитны. Ферро. магнетизм появляется в области концентраций Li<sub>2</sub>O 10-20 мол % и заметно увеличивается начиная с 30 мол % Li<sub>2</sub>O. На рис. 1 (кривая 4) показана зависимость намагниченности стекол в поле 14 КЭ от состава при комнатной температуре. Максимум намагниченности наблюдается в области составов, содержащих 40-50 мол % Li<sub>2</sub>O, т. е. при соотношении Li<sub>2</sub>O/B<sub>2</sub>O<sub>3</sub> ~ 0,8—1,25. Вероятно, такое соотношение является оптимальным для образования высокоспиновых комплексов ионов железа в структуре стекла. Проведение рентгенофазового анализа закристаллизованных стекол 50Li<sub>2</sub>O · 10Fe<sub>2</sub>O<sub>3</sub> · 40B<sub>2</sub>O<sub>3</sub> и 50Li<sub>2</sub>O · 20Fe<sub>2</sub>O<sub>3</sub> · 30B<sub>2</sub>O<sub>3</sub> показало наличие кристаллов LiFeO<sub>2</sub>, LiFe<sub>5</sub>O<sub>8</sub>, LiB<sub>2</sub>O<sub>4</sub> Эти данные хорошо согласуются с литературными данными (12) и косвенно свидетельствуют о большой вероятности сделанных предположений. Определенную роль в образовании высокоспиновых комплексов, вероятно, играет и валентно-координационное состояние ионов железа. Согласно данным Мессбауеровской спектроскопин, метода ЭПР (3 4 13) и работы (14) ионы железа в свинцовоборатных и свинцовосиликатных стеклах находятся как в двухвалентном, так и трехвалентном состояниях. При низких концентрациях железо находится преимущественно в четырехкоординированном состоянии. При увеличении концентрации железа уменьшается доля двухвалентного железа и увеличивается количество шестикоординированного железа. В наших стеклах, вероятно, железо может быть в четырехкоординированном состоянии и при более высоких концентрациях, так как у нас вместо нонов Pb2+, которые сами склонны к вхождению в структурную сетку (15), присутствуют ионы лития, создающие возможность присутствия в структуре слабо связанных немостиковых ионов кислорода. Не исключено также и благоприятное влияние на магнитоупорядоченное окружение ионов железа координационного перехода ВО₃→ВО₄, который может иметь место в данной области концентраций Li<sub>2</sub>O (16).

На рис. 2 изображена зависимость магнитного момента от напряжения внешнего магнитного поля при различных температурах для

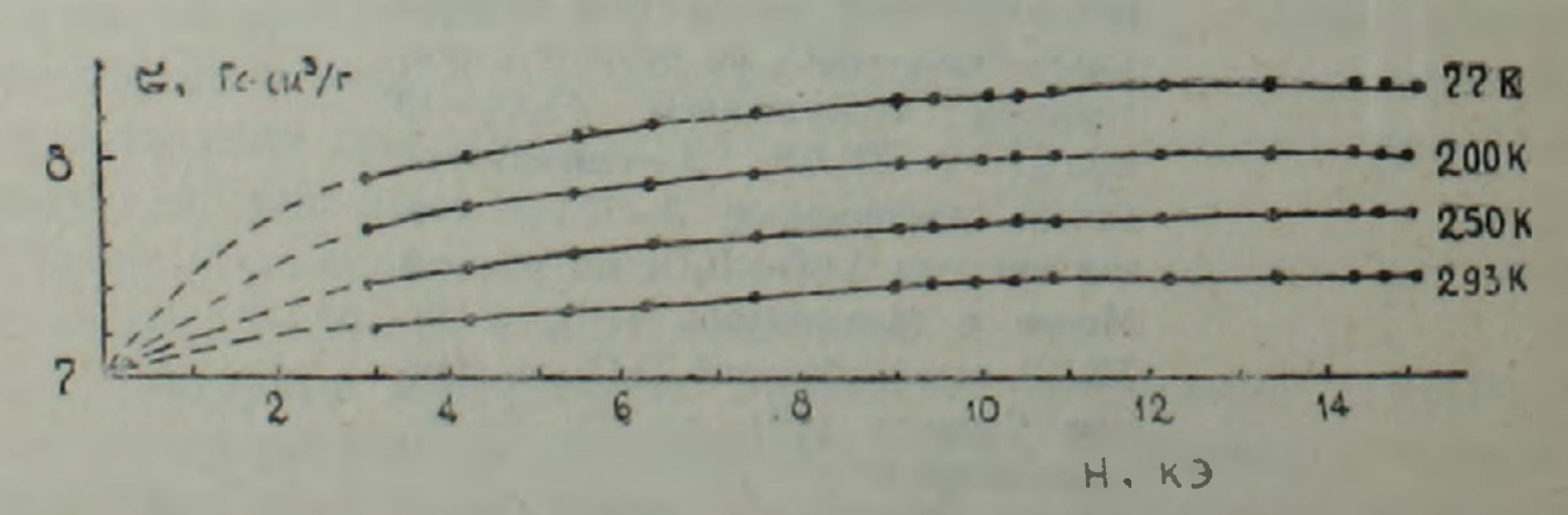


Рис. 2. Зависимость намагниченности (магнитного момента) от напряжения внешнего магнитного поля при различных температурах для стекла 40Li<sub>2</sub>O · 10Fe<sub>2</sub>O<sub>3</sub> · 50B<sub>2</sub>O<sub>3</sub>

стекла 40Li<sub>2</sub>O · 10Fe<sub>2</sub>O<sub>3</sub> · 50B<sub>2</sub>O<sub>3</sub>. Такие изменения (H) характерны для ферромагнетиков. Насыщение наступает в полях ~ 8 КЭ. С повышением температуры значения магнитных моментов уменьшаются.

работе проводилось также исследование температурной зави-

симости магнитной восприимчивости стекол. Детальному исследованию подвергалось стекло состава  $50\text{Li}_2\text{O} \cdot 10\text{Fe}_2\text{O}_3 \cdot 40\text{B}_2\text{O}_3$ . На рис 3 показаны температурные зависимости намагниченности и обратной величины магнитной восприимчивости образца указанного состава

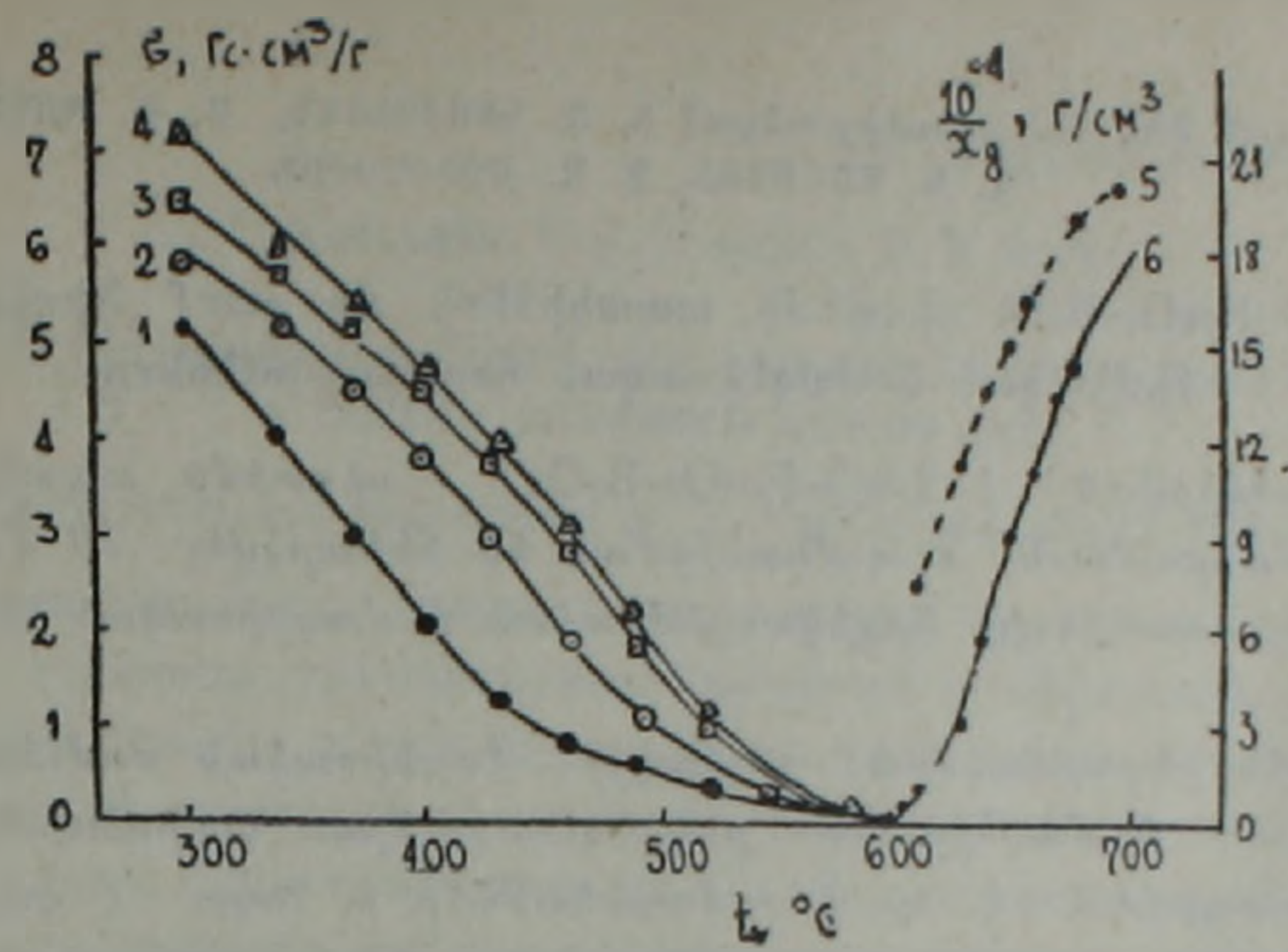


Рис. 3. Зависимость намагниченности и обратной магнитной восприимчивости от температуры для стекла 50Li<sub>2</sub>O · 10Fe<sub>2</sub>O · 40B<sub>2</sub>O<sub>3</sub>

Измерения проводили начиная с температуры  $300^\circ$ . Кривая I показывает зависимость  $\sigma(T)$  первой пробы. Далее, при повторном измерении,  $\sigma(T)$  этой же пробы выражается кривой 2. После этого первая проба была выдержана при температуре  $660^\circ$  в течение 10 мин и измерена зависимость  $\sigma(T)$  (кривая 3). Кривая 4 выражает зависимость  $\sigma(T)$  этой же пробы, охлаждаемой начиная с температуры  $600^\circ$ , в магнитном поле 5 КЭ. Из этих кривых видно, что один и тот же образец имеет разные величины намагниченности при многократном измерении, причем от опыта к опыту намагниченность возрастает. Это, по всей вероятности, связано с тем, что ввиду большой склонности к кристаллизации данного состава при термообработках в пробе образуются кристаллы ферромагнитного феррита лития, количество которого от опыта к опыту увеличивается. Температура Кюри исследуемого стекла лежит в области  $580-600^\circ$ .

Была сделана попытка измерения магнитной восприимчивости того же состава в парамагнитной области. Кривые 5, 6 описывают зависимость  $I/\iota(T)$  разных проб. Они имеют одинаковый характер. Наблюдается резкое нелинейное уменьшение обратной восприимчивости при приближении к точке Кюри (не выполняется закон Кюри—Вейсса), напоминающее поведение ферритов. К сожалению, высокие температуры Кюри данных стекол, превышающие температуры размягчения приблизительно на 100°, не позволяют провести более детального изучения восприимчивости в парамагнитной области.

Таким образом, определена область стеклообразования в системе  $\text{Li}_2\text{O}-\text{Fe}_2\text{O}_3-\text{B}_2\text{O}_3$ . Выявлено, что по разрезу  $\text{Fe}_2\text{O}_3=10$  мол % ферромагнетизм стекол появляется с концентрации  $\text{Li}_2\text{O}=20$  мол % в пределах соотношений  $\text{Li}_2\text{O}/\text{B}_2\text{O}_3\sim0.5\div2$ . Ионы железа при указанных соотношениях концентрации  $\text{Li}_2\text{O}$  и  $\text{B}_2\text{O}_3$  находятся в высокоспиновых

комплексах (в закристаллизованных образцах присутствуют кристаллы ферромагнитного феррита лития). В парамагнитной области зависимость обратной восприимчивости от температуры не подчиняется закону Кюри—Вейсса.

Հայկական ՍՍՀ ԳԱ թղթակից-անդամ Կ. Ա. ԿՈՍՏԱՆՑԱՆ, Մ. Ա. ՊՈՂՈՍՑԱՆ, Վ. Ե. ԱԴԱՄՑԱՆ, Չ. Ա. ՄՈՒՐԱԴՑԱՆ

### Li<sub>2</sub>O-Fe<sub>2</sub>O<sub>3</sub>-B<sub>2</sub>O<sub>3</sub> սիստեմի ապակիների մի շարք ֆիզիկաքիմիական և մագնիսական հատկությունները

Ուսումնասիրված է Li<sub>2</sub>O-Fe<sub>2</sub>O<sub>3</sub>-B<sub>2</sub>O<sub>3</sub> սիստեմի ապակեգոյացման տիրույթը։ Մանրամասն ուսումնասիրման են ենթարկվել 10 մոլ % Fe<sub>2</sub>O<sub>3</sub> պարունակող ապակիների ֆիզիկա-բիմիական և մադնիսական հատկություն-ները։

Ջերմային ընդարձակման գոլծակցի, մագնիսական մոմենտի, մագնիսացվածության և մագնիսական ընկալունակության փոփոխման բնույթից
ելնելով, ենթադրվում է, որ ֆերոմագնետիզմը ի հայտ է գալիս սկսած
20 մոլ % Li2O-ի պարունակությունից, երբ Li2O-ի և B2O3-ի պարունակուβյունների հարաբերությունը գտնվում է 0,5—2-ի սահմաններում։ Երկաթի
հոնները, Li2O-ի և B2O3-ի նշված պարունակությունների սահմաններում,
գտնվում են ուժեղ սպինային կոմպլեքսներում։ Այդ բանի ոչ անմիջական
ապացույցն է բյուրեղացված ապակիներում ֆերոմագնիսական լիրիումի
ֆերիտի բյուրեղների առկայությունը։

#### ЛИТЕРАТУРА — ԳՐԱԿԱՆՈՒԹՑՈՒՆ

1 А. И. Губанов, ФТТ, т. 2, № 3 (1960). 2 Т. Kemeny, Vincse, Fogarassy, Phys Rev, B. 20, № 2 (1979). 3 E. Burzo, Arbelean, Mater. Res. Bull., v. 14, № 11 (1979). 4 E. Burzo, Arbelean, J. Phys. and chem. Glasses., v. 20, № 1 (1979). 5 H. Lawille, I. C. Bernier, J. Mater. Sci, v. 15, № 1 (1980). 6 C. Chaumont, I. Bolssier, I-C. Bernier, Rev ent hauter temp et réfract, v. 15, № 1 (1978). 7 Л. Я. Мазелев, А. М. Крипский, А. Д. Шныников. в сб.: Стекло и силикатные материалы, Минск, 1962. В Е. Адамян, А. В. Голубков, Г. М. Логинов и др., ФТТ, т. 7, вып. 11 (1965). 5 Голег, Rev. Sci. Inst., v. 30, 548 (1959). 10 Р. Роусон, Неорганические стеклообразующие материалы, Мир. М., 1970. 11 О. В. Мазурин, М. В. Стрельцина, Т. П. Швайко-Швайковская, Свойства стекол и стеклообразующих расплавов, Стравочник, Наука, Л., 1975. 12 Днаграммы состояния силикатных систем. Справочник пол ред. В. П. Барзаковского, вып. IV, Наука, 1974. 13 А. Я. Кузнецов, В. А. Цехомский, ОМП, т. 7, № 27, (1962). 14 В. В. Варгин, Т. В. Зарубина, С. А. Степанов, ЖПХ, т. 13, № 6 (1970). 15 І. Е. Stanworth, J. Soc. Glass. Techn., v. 32, 146, 154 (1962). 16 А. А. Аппен, Химия стекла, Химия, Л., 1970.

LXXVIII

1984

5

УДК 581.192

#### ФИЗИОЛОГИЯ РАСТЕНИЯ

А. Г. Деведжян, Х. К. Хажакян, К. В. Эгибян

# О содержании фитогормонов у диких видов картофеля в связи с влиянием длины дня

(Представлено академиком М. X. Чайлахяном 25/III 1983)

Продолжительность дневного освещения является важным фактором для перехода клубненосных растений к образованию клубней. Известно, что многие клубненосы отличаются резко выраженной фотопериодической реакцией и короткий день является решающим фактором регуляции клубнеобразования (1). Установлено также, что клубнеобразование зависит от гормонального стимула, возникающего в листьях растений на коротком дне (2).

Разносторонность действия фитогормонов, их непосредственная связь со многими физиологическими процессами дали основание предполагать, что регулирующие рост вещества могут контролировать процесс клубнеобразования.

Изучение роли гиббереллинов в процессе клубнеобразования показало, что они задерживают образование клубней и являются индукторами роста столонов. Об этом свидетельствуют и результаты наших опытов по влиянию гибберелловой кислоты на клубнеобразование (3) и данные по эндогенному содержанию гиббереллинов в листьях и столонах растений (4). Показано, что с началом клубнеобразования содержание гиббереллинов уменьшается, при этом имеет место и уменьшение содержания ауксинов (5).

В опытах с применением ингибиторов роста выяснилось, что абсцизовая кислота не влияет на образование клубней у изолированных столонов картофеля (<sup>6</sup>), но задерживает рост столонов, что обычно предшествует образованию клубней. При этом реакция абсцизовой кислоты на процесс клубнеобразования проявляется только в том случае, когда листья растений находятся в условиях короткого дня (<sup>7,3</sup>). Вместе с тем в литературе имеются данные о том, что с началом клубнеобразования повышается уровень эндогенных ингибиторов (<sup>4</sup>).

О физиологическом значении цитокининов в формировании клубней известно, что изолированные столоны картофеля могут легко формировать клубни при добавлении кинетина в среду (6), однако кинетин и 6—БАП не усиливают клубнеобразование при обработке целых растений картофеля и топинамбура (8.3). Это, по-видимому, связано с тем, что цитокинины не передвигаются из листьев вниз по стеблю. Единственное указание в литературе по поводу содержания природных цитокининов в связи с процессом клубнеобразования растений имеется в работе Маука и Лангилла (9). Ими обнаружено, что повы-

шение содержания эндогенных цитокининов в корнях и столонах картофеля происходит при перестановке растений с длинного на короткий день.

Нами проводились сравнительные определения эндогенных гиббереллинов, абсцизовой кислоты и цитокининов в различных органах растений южноамериканского дикого картофеля Solanum demissum, выращенных в условиях длинного и короткого дня и обладающих качественно короткодневной реакцией клубнеобразования.

Определение гибберелловой и абсцизовой кислот проводили в листьях, а цитокининов—в столонах и клубнях. Это было связано с тем, что гибберелловая и абсцизовая кислоты образуются в листьях непосредственно под влиянием длины дня и передвигаются вниз к местам образования клубней, а цитокинины образуются в корнях, и их действие проявляется локально.

Экстракцию и хроматографическую очистку природных гиббереллинов проводили по методике, описанной В. Н. Ложниковой с сотр. (10). После разделения веществ на хроматограмме зоны, соответствующие Rf стандартной гибберелловой кислоты, испытывали на биологическую активность с помощью биотеста по удлинению гипокотилей проростков салата Берлинский (11). Биологическая активность гиббереллинов представлена в процентах прироста проростков салата к контролю. Полученные данные приведены в таблице. Они показывают, что активность гибберелловой кислоты в листьях растений S. demissum, выращенных на длинном дне, выше, чем на коротком.

Абсцизиноподобные вещества выделяли по методике Рудницкого ( $^{12}$ ). После очистки экстрактов и их разделения на хроматограмме зоны, соответствующие Rf стандартной абсцизовой кислоты, анализировали на биологическую активность с помощью теста на прорастание семян горчицы Суперэлита ( $^{13}$ ). Биологическую активность абсцизинов определяли на основании результатов подсчета числа проросших под влиянием элюатов из хроматограмм, в процентах по отношению к контролю. Приведенные в таблице результаты показывают, что активность абсцизовой кислоты в листьях растений S. demissum на коротком дне выше, чем на длинном.

Выделение и очистку природных цитокининов проводили согласно В. В. Мазину и Л. С. Шашковой (14) с некоторыми изменениями. Растительный материал экстрагировали 80%-ным эталоном, а оставшуюся после отгонки спирта водную фракцию подщелачивали и экстрагировали бутанолом. Сухие остатки из бутанольной и водной фракций растворяли в фосфатном буфере, пропускали через стеклянный фильтр и испытывали на цитокининовую активность с помощью теста (15), основанного на биосинтезе бетацианинов у проростков щирицы в присутствии тирозина. Пропорциональная зависимость между содержанием эндогенных веществ с цитокининовой активностью и биосинтезом бетацианинов позволяет дать количественную оценку содержания цитокининов в экстрактах растительных тканей. Концентрацию бетацианинов определяли спектрофотометрически при длине волны 540 нм. Оптическую плотность бетацианинов выражали в процентах к контролю.

В таблице приведены данные активности цитокининов из водной фракции. Они показывают, что содержание цитокининов в столонах растений S. demissum, выращенных на длинном дне, низкое, а в столонах растений, находившихся в условиях короткого дня, выше и что максимальное содержание цитокининов обнаруживается в клубнях, которые у данного вида картофеля образуются только в условиях короткого дня.

Активность гибберелловой кислоты, абсцизовой кислоты и цитокининов в различных органах растений Solanum demissum, выращенных в условиях длинного и короткого дня

		noporno	ДПИ			
фотопериодический режим	Органы -		Опыты			
	Органы	1	2	3	4	
	Гиббере.			нтролю)		
Длинный день Короткий день	Листья Листья	221 185	177	151	167 115	
(ингибиров	Абсцизо ание прорастани			к контролю)		
Длинный день Короткий день	Листья Листья	70 61	102 60	26	24 7	
(экстині	Цито кция б <b>е</b> тацианин	кинины ов при 540	нм в % к к	онтролю)		
Длинный день Короткий день Короткий день	Столоны Столоны Клубни	96 250 730	111 155 240	189 365 • 470	-	

Полученные в аналитических опытах результаты показывают, что на длинном дне в листьях Solanum demissum повышается активность гибберелловой кислоты, тогда как активность абсцизовой кислоты выше в условиях короткого дня. Цитокининов в столонах на длинном дне мало, их интенсивное образование в столонах и особенно в клубнях растений наблюдается в условиях короткого дня.

Таким образом, образование и рост столонов происходит в условиях длинного дня и индуцируется с помощью гиббереллинов в соответствии с тем, что содержание гиббереллинов больше на длинном, чем на коротком дне. Образование и рост клубней протекает в условиях короткого дня и стимулируется с помощью абсцизовой кислоты и цитокининов, и этому соответствует более высокое содержание этих соединений на коротком дне. Абсцизовая кислота при этом перетекает из листьев вниз и останавливает продольный рост столонов, а цитокинины перетекают из корней и способствуют поперечному росту столонов, т. е. росту в толщину и образованию клубней. Все это дает основание думать об определенной роли гиббереллинов, абсцизовой кислоты и цитокининов в регуляции клубнеобразования растений.

На основании полученных нами и имеющихся в литературе данных (16), по-видимому, можно заключить, что в клубнеобразовании играют роль два комплекса фитогормонов. Первый комплекс—гиббереллины и абсцизины, которые возникают в листьях, передвигаются вниз в стеблевые почки основания стебля и здесь регулируют первую фазу клубнеобразования, т. е. фазу роста или задержки роста столонов. Второй—это комплекс ауксинов и цитокининов; ауксины текут из верхушки в стеблевые почки основания стебля, а цитокинины поступают из корней в эти же почки и здесь действуют на вторую фазу, т. е. непосредственно на процесс клубнеобразования.

Институт агрохимических проблем и гидропоники Академии наук Армянской ССР

#### Հ. Հ. ԴԵՎԵԶՅԱՆ, Խ. Կ. ԽԱԺԱԿՅԱՆ, Կ. Վ. ԷԳԻԲՅԱՆ

Ֆիտոնումոնների պարունակությունը կարտոֆիլի վայրի տեսակների մոտ՝ կապված օրվա տևողությունից

Օրվա տարբեր տևողության պայմաններում աճեցրած Solanum demissum կարտոֆիլի տերևներում, ստոլոններում և սլալարներում, կատարվել են հիբերելինաթթվի, արսցիղինաթթվի և ցիտոկինինների ակտիվության որոշումներ։

ակտիվությունը—կարճ օրվա պայմաններն, որ կարտոֆիլի տերևներում Հիբերելինաթթվի ակտիվությունը բարձր է երկար՝, իսկ աբսցիղինաթթվի

ծրկար օրում բույսերի ստոլոններում պարունակվող ցիտոկինինների ակտիվությունը ցածր է, վերջիններիս ակտիվությունը ստոլոններում բարձրանում է կարճ օրում, եսկ ցիտոկինինների ամենաբարձր ակտիվությունը հայտնում են միայն կարճ օրվա պայմաններում։

#### ЛИТЕРАТУРА — ԳՐԱԿԱՆՈՒР 3 ՈՒՆ

1 W. W. Garner, H. A. Allard, J. Arg. Res., v. 23 (1923). <sup>2</sup> В. И. Разумов, Тр. по прикл. ботанике, генетике и селекции, т. 27, 5, 3 (1931). <sup>3</sup> Х. К. Хажакяк. А. Г. Деведжан, М. Х. Чайлахян, ДАН СССР. т. 248, № 4 (1979). <sup>4</sup> І. Окагача, J. Crop. Sci. Soc. Japan, v. 29 (1960). <sup>5</sup> І. Esashi, Eguchi, Nagao, Plant and Cell Physiol., v. 4 (1964). <sup>6</sup> С. Е. Palmer, О. Е. Smith, Plant and Cell Physiol., v. 10 657 (1969). <sup>1</sup> Р. F. Wareing, А. М. V. Jennings, In: Plant Growth Substances, 1979, Berlin, Springer Verlag (1980). <sup>8</sup> Ж. В. Цовян, Ж. М. Котикян, Биол. журн. Армении, т. 24, № 2 (1981). <sup>9</sup> С. S. Маик, А. R. Langill, Plant Physiol., v. 62 (1978). <sup>10</sup> В. Н. Ложникова, Л. П. Хлопенкова, М. Х. Чайлахян, в сб.: Методы определения фитогормонов, ингибиторов роста, дефолиантов и гербицидов, М., Наука, 1973. <sup>11</sup> Г. С. Муромцев, Н. В. Русанова, Физиология растений, т. 9, № 5 (1962). <sup>12</sup> R. Rudnicki, Planta, v. 8, № 1, (1969). <sup>13</sup> М. Г. Николаева, Т. В. Далецкая, Тр. ботни-та АН СССР, т. 4, № 16 (1963). <sup>14</sup> В. В. Мазин, Л. С. Шашкова, в сб.: Рострастений и природные регуляторы, М., Наука, 1977. <sup>15</sup> С. Відот, С. г. Асаd. Sci., Paris, D266, № 4, (1968). <sup>16</sup> М. Х. Чайлахян, ДАН СССР, т. 268, № 4 (1983).

LXXVIII

1984

УДК 612.827.+612.826.8

**ФИЗИОЛОГИЯ** 

## О. П. Косоян, А. О. Бантикян

# Электрофизиологический анализ нейронов собственных ядер моста, проецирующихся в мозжечок

(Представлено академиком АН Армянской ССР В. В. Фанарджяном 8/VI 1983)

Согласно современным представлениям предмозжечковые образования являются важными интегративными центрами, принимающими непосредственное участие в программировании движений и реализации моторной памяти (1.2). К таким образованиям относятся собственные ядра варолневого моста. Если к настоящему времени достаточно подробно изучены электрофизиологические особенности кортико-понтинной передачи (3.4), то второе звено кортико-понто-мозжечковой системы нуждается в дальнейшем изучении.

Имеется ряд морфологических исследований, посвященных проекции собственных ядер моста на кору мозжечка  $(5^{-7})$ ; наряду с этим остается спорным вопрос о проецировании нейронов моста к центральным ядрам мозжечка (8-10). Большой интерес представляет также исследование обратных связей из ядер мозжечка к нейронам моста для уточнения роли собственных ядер моста в осуществлении циркуляции импульсов в пределах стволо-мозжечкового круга (2.11). В настоящей работе проведен анализ особенностей активации нейронов медиального собственного ядра моста (Pontin gray medialis, PGM) на раздражение центральных ядер мозжечка, его средней и верхней ножек.

Опыты выполняли на 22 взрослых кошках, наркотизированных нембуталом (40-50 мг/кг, внутрибрюшинно). Использовали вентральный подход к структурам варолиев моста (3). Раздражающие вольфрамовые биполярные электроды вводили стереотаксически в контралатеральные центральные ядра мозжечка, в его верхнюю и среднюю ножки. Внутриклеточное отведение активности нейронов PGM осуществляли с помощью стеклянных микроэлектродов, заполненных 3 М раствором хлористого калия или 2 М раствором цитрата калия. Метки кончиков отводящих и раздражающих электродов производили электролитически и их местоположение определяли на гистологических срезах, окрашенных метиленовой синью.

Была зарегистрирована активность 74 нейронов PGM. Все они идентифицировались как эфферентные понто-мозжечковые непроны на основании их антидромной активации. Антидромные потенциалы действия (ПД) указанных нейронов характеризовались коротким скрытым периодом выявления, который не изменялся при разной силе и частоте раздражения; коротким рефрактерным пернодом; отсут-

ствием медленного препотенциала предшествующего ПД и способностью воспроизводить полные ПД при высокой частоте раздражения до 500 Гц (рис.  $1,A, \mathcal{B}$ ).

Из всех зарегистрированных нейронов 37 отвечали антидромным

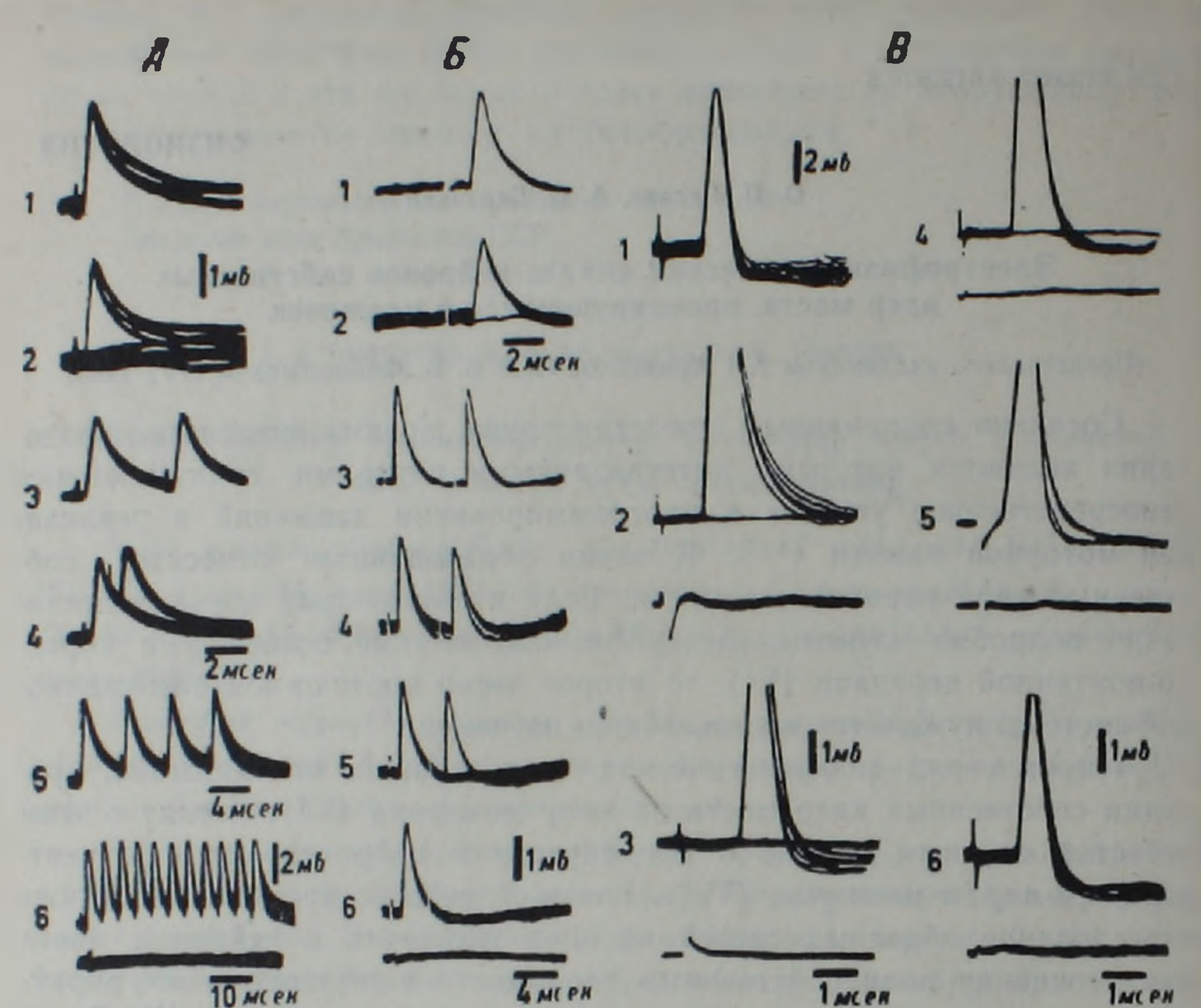


Рис. 1. Антидромная активация понто-мозжечковых нейронов, вызванная раздражением структур мозжечка. А, Б и В—три разных нейрона А—стимуляция средней ножки мозжечка одиночными надпороговыми (1), строго пороговыми (2) импульсами, двойными импульсами с разными интервалами (3, 4) и частотой импульсов в 250 (5) и 300 Гц (6). Нижняя запись на А, 6 потенциал поля после выхода микроэлектрода из клетки. Б—стимуляция зубчатого ядра мозжечка одиночными надпороговыми (1), строго пороговыми импульсами, двойными импульсами с разными интервалами (3—6). Нижняя запись на Б,6—потенциал поля после выхода микроэлектрода из клетки. В—стимуляция одиночными импульсами средней (1, 2), верхней (3) ножек мозжечка, его фастигиального (4), промежуточного (5) и зубчатого (6) ядер. Нижняя запись на В, 2—6—потенциал поля после выхода микроэлектрода из клетки.

Здесь и на рис. З потенциалы зарегистрированы при наложении 5—40 пробегов луча с частотой 1—5 Гц, использовался усилитель постоянного тока

ПД на раздражение средней ножки мозжечка. Скрытый период ответов исчислялся 0,15—1,6 мс; на гистограмме они распределялись бимодально с пиками в пределах 0,2—0,5 и 0,7—0.8 мс (рис. 2,A). Намного меньшее количество нейронов (17 клеток) реагировало на раздражение верхней ножки мозжечка (рис. 2,B), очевидно, указывая на то, что этот путь в меньшей степени используется для проведения импульсов от РGМ в мозжечок. Скрытые периоды зарегистрированных ответов составляли 0,3—1,0 мс. При испытании раздражения центральных ядер мозжечка наибольшее количество нейронов РGМ реагировало на стимуляцию зубчатого ядра мозжечка (41 клетка).

Скрытые периоды ответов колебались в пределах 0,2—1,4 мс, пик частоты распределения приходился на 0,3—0,5 мс (рис. 2,В). На раздражение промежуточного ядра мозжечка антидромные ПД со скрытым периодом 0,2—1,0 мс были зарегистрированы у 27 нейронов;

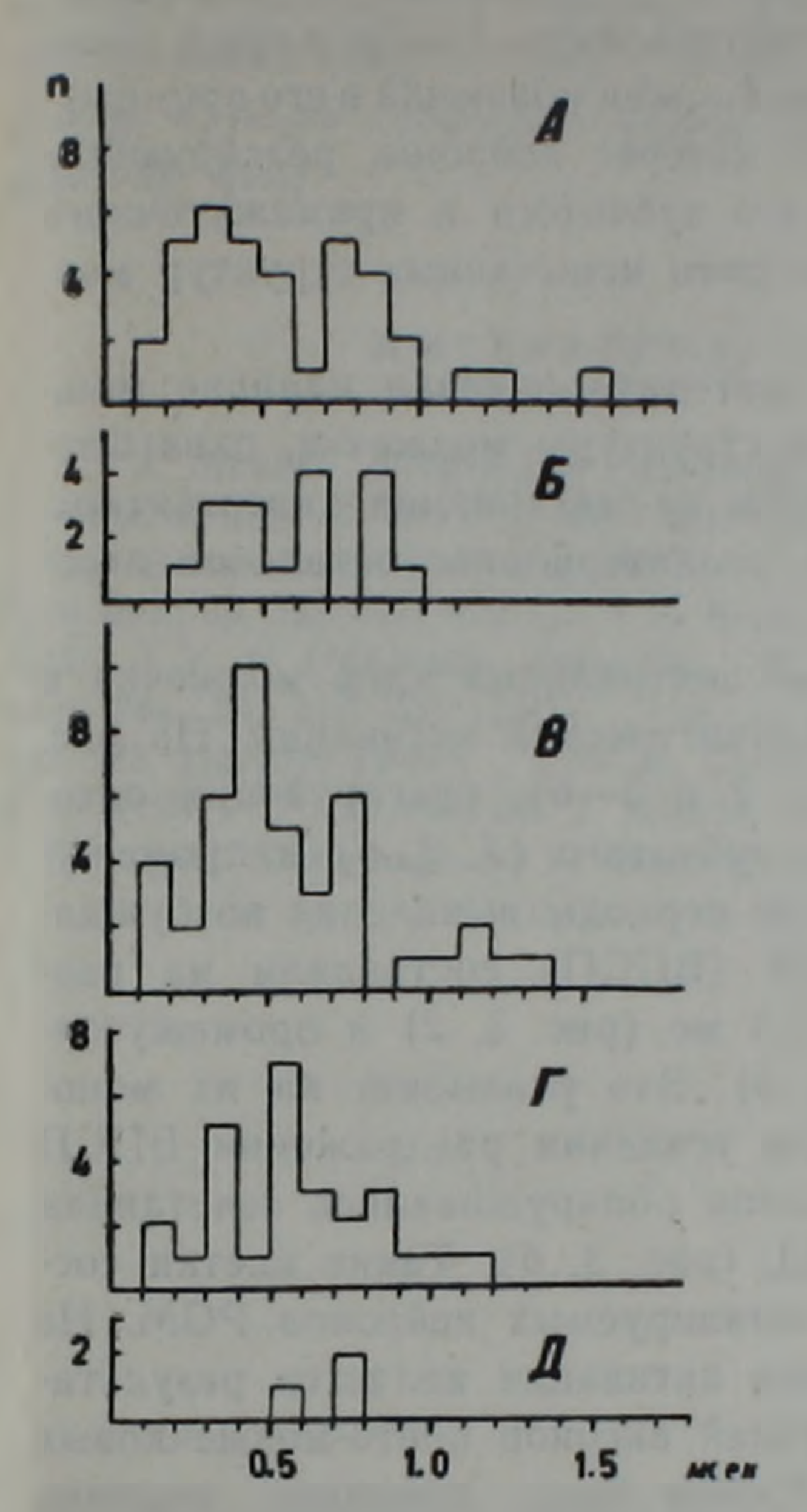


Рис. 2. Гистограммы распределения скрытых периодов антидромных потенциалов действия нейронов медиального собственного ядра моста, вызванных раздражением средней (A), верхней (B) ножек мозжечка, его зубчатого (B), промежуточного  $(\Gamma)$  и фастигиального  $(\mathcal{A})$  ядер

По оси абсцисс время в мс; по оси ординат—количество нейронов,

n,

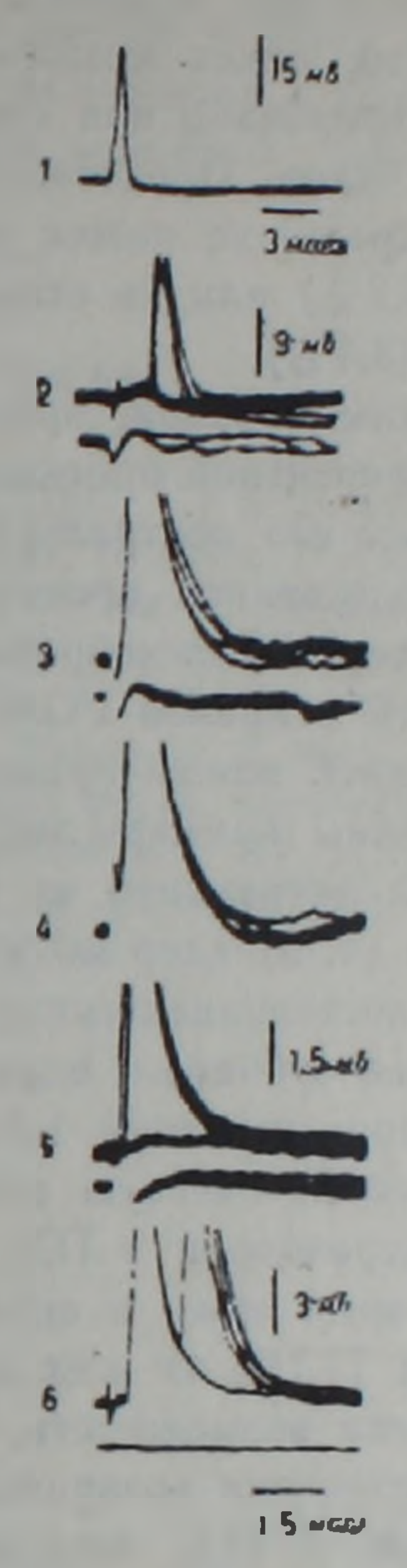


Рис. 3. Синаптическая активация нейронов медиального собственного ядра моста, вызванная раздражением структур мозжечка. Зарегистрированы активность двух нейронов (1-2 и 3-6), ВПСП и ортодромные ПД на раздражение зубчатого ядра мозжечка (1, 2), антидромный ПД на стимуляцию средней ножки мозжечка (3), ВПСП н ортодромные ПД на раздражение промежуточного ядра мозжечка (4, 5). одновременная антидромная и ортодромная активация PGM на стимуляцию зубчатого ядра мозжечка (б). Нижняя запись на 2. 3. 5, 6 потенциал поля после выхода микроэлектрода из клетки

только три нейрона PGM отвечали на раздражение фастигиального ядра мозжечка (скрыгый период ответа 0.5-0.8 мс) (рис.  $2.\mathcal{A}$ ).

Было показано, что определенное число исследованных нейронов

могло быть антидромно активировано из разных структур мозжечка, что говорит о наличии коллатерального ветвления аксонов указанных нейронов (рис. 1,В). Так, 16,6% из всех 74 исследованных нейронов могло быть антидромно активировано при раздражении средней и верхней ножек мозжечка. 15,3% нейронов реагировали на раздражение обеих ножек мозжечка и его зубчатого ядра. 12,5% клеток было зарегистрировано при стимуляции обеих ножек мозжечка и его промежуточного ядра. Представляют большой интерес нейроны, реагирующие на раздражение ножек мозжечка и его зубчатого и промежуточного ядер (6,2%) или на стимуляцию всех пяти испытанных структур мозжечка (3,4%).

Тажим образом, представленный материал показал наличие мощной эфферентной проекции из PGM в структуры мозжечка, охватывающей все его центральные ядра. Одним из механизмов дивергентности исследованной проекции является коллатеральное ветвление аксонов эфферентных нейронов.

У .19 нейронов PGM раздражение центральных ядер мозжечка и его верхней ножки приводило к их синаптической активации. На рис. 3 показаны примеры двух нейронов (1, 2 и 3-6), реагирующих ортодромной активацией на раздражение зубчатого (1, 2, 6) и промежуточного (4, 5) ядер мозжечка. Скрытые периоды выявления возоуждающих постсинаптических потенциалов (ВПСП) составляли на раздражение зубчатого ядра мозжечка 1,8 мс (рис. 3, 2) и промежуточного ядра мозжечка 1,3 мс (рис. 3, 5). Это указывает на их моноили дисинаптическую активацию. При усилении раздражения ВПСП легко переходили в ПД. У части клеток обнаруживались сочетанная регистрация орто- и антидромных ПД (рис. 3, 6). Такие клетки составляли 73,7% из всех ортодромно активируемых нейронов PGM. Не исключена возможность, что указанная активация является результатом вовлечения возвратных коллатералей аксонов понто-мозжечковых нейронов. У 21% исследованных нейронов было показано наличие конвергенции афферентных входов из двух ядер мозжечка. Из них 15,8% ортодромно активировались на раздражение промежуточного и зубчатого ядер, а 5,2% на раздражение промежуточного и фастигиального ядер.

Приведенный материал показал наличие двусторонней связи между PGM и структурами мозжечка. На примере некоторых нейронов было обнаружено, что такая связь может быть ответственна за реверберацию возбуждения в пределах стволо-мозжечкового круга (2).

Институт физиологии им. Л. А. Орбели Академии наук Армянской ССР

## Հ. Պ. ՔՈՍՈՅԱՆ, Ա. Հ. ԻԱՆՏԻԿՑԱՆ

# Ուղեղիկ ուշվագծվող կամշջա-ուղեղիկային նեյշոնների էլեկտշաֆիզիոլոգիական վեշլուծությունը

Կատուների մոտ, սուր փորձի պայմաններում, Վարոլյան կամրջի միջային սեփական կորիզի նեյրոնների ակտիվությունը հետաղոտվել է միկրոէլեկտրոդային ներբջջային արտածման մեթոդով։ Հակընթաց պոտենցիալ230

### ЛИТЕРАТУРА — ԳГЦЧЦЪПЬРЗПЬЪ

1 J. Bloedel, Progress in Neurobilogy, v. 2, 16--68 (1973). 2 G. I. Allen, N. Tsukahara, Physiol. Rev., 54, 957-1006 (1974). 3 G. I. Allen, H. Korn, T. Oshima e. a., Exp. Brain Res., 24, 15-36 (1975). 4 G. I. Allen, T. Oshima, K. Toyama, Exp. Brain Res., 29, 123-137 (1977). 5 A. Brodal, J. Jansen, J. Comp. Neurol., 84, 31-118 (1946). 4 Y. H. Hoddevik, Brain Res., 95, 291-307 (1975). 7 Y. H. Hoddevik, Exp. Brain Res., 30, 511-526 (1977). 8 R. A. McCrea, G. A. Bishop, S. T. Kitai, Brain Res., 122, 215-228 (1977). 9 N. M. Gerrit, J. Voogd, Acta morph, neerl-scand., 19, 56-57 (1981). 10 E. Dietrich, J. Bjaalie, P. Brodal, Brain Res., 259, 127-131 (1983). 11 K. Sasaki, S. Kawaguchi, T. Shimono e. a., Brain Res., 20, 425-428 (1970).

The state of the s

The state of the s

make the second second

# ԲՈՎԱՆԴԱԿՈՒԹՅՈՒՆ LXXVIII հատոբի

บนคอบแรกงน	
Ցու Մ. Մովսիսյան— <i>Ալբերտի Թեորեմը երկտեղ հանրահաշիվների կատեգորիայում</i> Հ. Գ. Մաrտիrոսյան— <i>Անհամաչափ մաշվածություն ունեցող համակարգերի համար</i>	3
մի քանի օպտիմիզացիոն խնդիրների մասին	8
Ժ. Գ. Նիկողույան — Գրաֆի Համիլտոնյանության մի բավարար պայման Ի. Լ. Գոլինսկի — Գնահատականներ Քրիստոֆել — Դարբուի բազմանդամային կորիզ-	2
ների համար և Ձ. Պրայսի մի Թեորեմի ընդհանրացումը	7
Ի. Գ. Խաչատոյան <i>— Հետքերի որոշ թանաձևերի մասի</i> ն	3
Ա. Ա. Շանինյան—Գևդում հարմոնիկ ֆունկցիաների մի եզրային եզակիության մասին 5	51
8ու. Մ. Մովսիսյան—Որոշ գերնույնություններով որոշվող հանրահաշիվների թագ-	
մաձևությունների վերաբերյալ	52
Ս. Դ. Գրիգույան—Գրավիտացվող գաղի կոնական Հոսբերի երկրաչափական	
Show un militaring	12
Ա. Ա. Շանինյան—Դիրիխլեի խնդրի լուծելիության մասին էվկլիդյան տարածության	
անսագմանափակ տիրույթներում և բաց ռիմանյան մակերևույթների վրա	98
Լ. Ա. Շանինյան <i>— Եռանկյունաչափական շարքերի միակության մասին</i> 10	)1
Հ. Կ. Այդինյան <i>_ՄՀԱ-կոդերի որոշ հատկություններ</i>	15
Ի. Գ. Խաչատբյան <i>—Ոչ գծային լարի հավասարման որոշ լուծումների մասին</i> . 10	18
Ժ. Գ. Մարգարյան, Ղ. Լ. Մովսիսյան <i>—Գծային կողերի կառուցման մի մողելի մասին 11</i> Մ. Պ. Դորոֆեևա,  Թ. Պ. Օվսյանկին,  Ա. Վ. Սմիրնով <i>—Նախնական ժամկետները</i>	[3
պահպանող բազմապրոցեսորային պլանների մասին	47
Պ. է. Մելիք-Աղամյան <i>– Կանոնական դիֆերենցիալ օպերատորների</i> Տ-մատրիցաների	
տեսության մասին	51
Ա. Հ. Դալալյան <i>—Բառերի բացառելիության մասին</i>	56
Վ. Ս. Վիդենսկի — Գծային դրական օպերատորներով ծնված գումարման ռեգուլյար	
մատրիցաների մասին	95
Վ. Ջ. Մաբտիբոսյան — Ար ալտերնատիվ հանրահաշիվների թազմաձևությունների են-	
թաբազմաձևությունների կավարների բաշխականության մասին	95
ԿԻՐԱՌԱԿԱՆ ՄԱԹԵՄԱՏԻԿԱ	
Ռ. Ս. Մինասյան <i>— Ջերմահաղորդականության խառը հզրային խնդիրը պտտվող գը-</i>	
լանի համար	22
Կ. Օ. Եղիազաբյան <i>— Հադամարի տարածական ընդհանրացված մատրիցանևրի մասի</i> ն 20	J's
ՄԵԽԱՆԻԿԱ	
Պ. Գ. Քեշիշյան — Քառակուսի լայնական հատույթով սյուներին կոշտ միացած և	
եզրագծով ազատ հենված բարակ ուղղանկյուն սալի ծոումը	3
Ա. Վ. Գեվորգյան, Կ. Ռ. Ղազաբյան—Սահրի մագնիսաառաձգական ալիրների ան-	
դրադարձման և բեկման խնդրի մասին	67
Ա. Դ. Դոոզդով, Վ. Բ. Կոլմանովսկի, Վ. Դ. Պոտապով—Անմիասեր ծերացող կպչուն	
առաձի <b>գ</b> նյութից պատրաստած ձողհրի կայունությունը	1
Դ. Յու Եւժքոլենկո, Վ. Վ. Կոլոկոլչիկով — Անհամասեռ ծերացող մարմինների համար	
առաձգամածուցիկության գլխավոր խորանարդային տնսության խնդիրների լուծման մասին	5
Ն. Խ. Հաrությունյան, Ա. Դ. Դողդով, Վ. Բ. Կոլմանովսկի <i>—Ծերացող առաձգամա-</i>	
չուցիկ միջավայրում գտնվող գլանային խողովակի կայունության մասին	
Գ. Ե. Բաղդասաբյան <i>—Ոլ ստացիոնար հոսանքի մագնիսական դաշտում գտնվող գեր-</i>	-
Հաղորդիչ գլանային թաղանթի դինաժիկական կայունությունը <sup>2</sup>	U

Ջ. Ս. Բուոսյան—Սեդիմենտացման հավասարումը սեպարացիայի դեպքում	37
ԱՌԱՁԳԱԿԱՆՈՒԹՅԱՆ ՏԵՍՈՒԹՅՈՒՆ	37
Ս. Մ. Մխիթաւյան, Ռ. Ս. Թումանյան—Առաձգական Հարթությանը կամայական թվով միմյանցից հավասարահեռ դասավորված օղակաձև վերդրակներից թեռի փոխանցման մասին Վ. Գ. Մազյա, Ս. Ա. Նազաւով—Բարակ սալերի խնդիրներում առաջացող Սապոն-	122
ջյան-Բաբուշկայի պարադոքսի վերաբերյալ . ՖԻԶԻԿԱ	127
Դ. Հ. Բաղդասաբյան, Ա. Հ. Մակաբյան, Պ. Ս. Պողոսյան—Տարթերային Հաճախա- կանության գեներացիան ալիթի երկարության միլիմետրական տիրույթում CO <sub>2</sub> լազերի օգնությամբ Ցու. Կ. Գարբիելյան, Ա. Ե. Մաբարբոսյան, Գ. Ց. Ներսիսյան, Վ. Օ. Պապանյան—	66
Կալիումի ճառագայթման սպեկտրը 50—100նմ տիրույթում	
Դ. Մ. Սեդրակյան, Կ. Վ. Պապոյան, Գ. Ա. Վարդանյան <i>—Քվանտային թյուրեղում</i>	
ծայնի կլանման մասին	170
<u>Է</u> ԼԵԿՏՐԱՏԵԽՆԻԿԱ	
Հ. Կ. Դավթյան, Գ. Ք. Քառամյան, Ռ. Հ. Հառությունյան—Ֆոտովառելիքային էլե- մենտների աշխատանքի սկզբունքները	
էՆԵՐԳԵՏԻԿԱ	
Ն. Ս. Խուբչուդով—Գազամատակարարման օպտիմիզացման մոդելների համակարգի կազմավորումը	213
ՍԵՅՍՄՈԼՈԳԻԱ	
Ս. Ռ. Ասլանյան, Ա. Ա. Կիռակոսյան, Ս. Ն. Նազառեթյան—Հայկական ՍՍՀ տա- րածքի և նրան հարակից շրջանների սեյսմիկ ակտիվությունը և հնարավոր առավելագույն ուժի երկրաշարժերը	
ՖիջիկԱԿԱՆ ՔԻՄԻԱ	
կ. Ա. Կոստանյան, Մ. Ա. Պողոսյան, Վ. Ե. Ադամյան, Զ. Ա. Մուբադյան—  Li <sub>2</sub> O-Fe <sub>2</sub> O <sub>3</sub> -B <sub>2</sub> O <sub>3</sub> սիստեմի ապակիների մի շարբ ֆիզիկա-բիմիական և մագնիսական Հատկությունները	218
ՍԳՏԱԿԱՐ ՀԱՆԱԾՈՆԵՐ	
Ա. Կ. Սաղաբելյան—Պղինձ-մոլիրդենային հրակիկ-հատիկային հանքայնացման նոր աիպը Սևան—Ամասիայի կառուցվածքամետաղածնային մարզում	178
ՏԵԿՏՈՆԻԿԱ	
Մ. Ն. Նազաբեթյան, Ս. Ռ. Ասլանյան— <i>Նախիջևան—Ղափանի անդրգոտիական</i> ր <i>եկվածքը</i>	182
վ. Լ. Արվանով, Ս. Բ. Մաժինյան, Ս. Ն. Հայրապետյան—Կալիումազուրկ լուծույթի	
մ. Լ. Արվանով, Ս. Ի. Մանիսյան, Մ. Ա. Հայլապետյան հատասխանների վրա ճնշող ազդեցությունը թաղանթի թլորից կախված ացետիլխոլինային պատասխանների վրա	141
բորցսերի ՖիԶիՈԼՈԳիԱ	
.եե.ե Ա.ա. Նի հոր ին տորունը ված ծառատեսակսերի սոտ .	74
2. Հ. Դենջյան, Խ. Կ. Խաժակյան, Կ. Վ. Էգիբյան— <i>Ֆիտոհորսուսերը պարուսադու</i>	223 233

#### บายแยนาแบกาายกาน

Ս. Մ. Ցարլոկով-Խնձույան—Սևամարմին-ըզնգների նոր տեսակ Հայկական ՍՍՀ-ից (Coleoptera, Tenebrionidae)	
ՖԻԶԻՈԼՈԳԻԱ	
Գ. Գ. Գրիգույան, Ա. Մ. Ստոլթեւգ, Ա. Ա. Հեքիմյան—Պրետեկտալ շրջանի նեյ-	
րոնների ռեցեպտիվ դաշտերի առանձնաշատկությունները	83
նեյրոնների գործունեության ուղեղիկային վերահսկումը Ա. Հ. Ռաճաիկյան, Հ. Պ. Քոսոյան—Կամրջի ծածկի ցանցաձև գոյացության նեյրոն-	87
ների էլեկտրաֆիզիոլոգիական առանձնահատկությունների մասին	187
րոնների էլեկտրաֆիզիոլոգիական վերլուծությունը	227
ዋ <b>ԺՇԿԱԿԱՆ</b> ՈՒ₱ՑՈՒՆ	
Ս. Հ., Միբզոյան, է. Ս. Սեկոյան, Օ. Պ. Սոցկի, Գ. Մ. Սաբգիսովա, է. Խ. Գրիգոր	
յան, Ն. Գ. Եպիսկոպոսյան — Գլիկոսֆինգոլիպիդներ և սիրտ-անոթային պաթոլոգիա .	91
ԴԵՂԱԲԱՆՈՒԹՅՈՒՆ	
է. Ս. Գաթբիելյան, Մ. Բ. Օրդյան, Ա. Բ. Թադևոսյան, Վ. Ն. Մադակյան, Հ. Շ. Մաբևոսյան— <i>Տետրաֆենիլպորֆիրին սուլֆաթթվի տետրանատրիումական աղի որոշ մե</i> -	
տաղակոմպլեքսների ֆիզիոլոգիական ակտիվությունը (ՄՏՖՊ—SO <sub>3</sub> Na)	45

APPENDED TO THE PERSON NAMED IN COLUMN TO THE PERSON NAMED IN COLU

1. 18.

# СОДЕРЖАНИЕ LXXVIII тома

	Стр.
математика	
Ю. М. Мовсисян—Теорема Алберта в категории бинарных алгебр Г. Г. Мартиросян—О некоторых оптимизационных задачах для систем-с не-	3
равномерным износом	
Ж.Г. Никогосян—Одно достаточное условие гамильтоновости графа. Б.Л. Голинский—Оценки для полиномиальных ядер Кристоффеля—Дарбу	
и обобщение одной теоремы Дж. Прайса	. 17
<ul> <li>И. Г. Хачатрян—О некоторых формулах следов</li> <li>А. А. Шагинян—Об одной граничной особенности функций, гармонических</li> </ul>	. 23
в шаре	
тождествами	. 53
С. Д. Григорян—Геометрическое исследование конических течений гравити-	
рующего газа	
ции в неограниченных областях евклидовых пространств и на открытых Рима-	
новых поверхностях	99
	101
А. К. Айдинян—Некоторые свойства кодов МДР	
И. Г. Хачатрян—О некоторых решениях уравнения нелинейной струны . Ж. Г. Маргарян, Г. Л. Мовсисян—Об одном методе построения линейных	108
кодов	113
М. П. Дорофеева, Б. П. Овсянкин, А. В. Смирнов—О многопроцессорных расписаниях, соблюдающих директивные сроки	
П. Э. Мелик-Адамян—К теории S-матриц канонических дифференциальных	
операторов	151
$A$ . $\Gamma$ . Далалян—Об нсключаемости слов	156
В. С. Виденский-О регулярных матрицах суммирования, порождаемых ли-	105
"Cilitation Honorette Cilibration Cheparopaint	195
В. Д. Мартиросян—О дистрибутивности решеток подмногообразий многооб-	100
разий правоальтернативных алгебр	199
ПРИКЛАДНАЯ МАТЕМАТИКА	
Р. С. Минасян—Смешанная граничная задача теплопроводности для враща-	
ющегося цилиндра	28
К. О. Егиазарян—О пространственных обобщенных матрицах Адамара	203
МЕХАНИКА	
П.Г. Кешишян—Изгиб равномерно нагруженной тонкой прямоугольной пли- ты, свободно опертой по контуру и жестко соединенной с колоннами квадрат-	
ного поперечного сечения	33
вой магнитоупругой волны	co
нз неоднородно-стареющего вязкоупругого материала	117
Г. Ю. Ермоленко, В. В. Колокольчиков—О решении задач главной кубичес-	159
кой теории вязкоупругости для неоднородно-стареющих тел	235
	-00

Н. Х. Арутюнян, А. Д. Дроздов, В. Б. Колмановский—Об устойчивости ци. линдрической трубы в стареющей вязкоупругой среде	1(
Дж. С. Торосян-Уравнение седиментации при сепарировании	
теория упругости	
С. М. Мхитарян, Р. С. Туманян—О передаче нагрузки от произвольного числа равноотстоящих друг от друга кольцеобразных накладок к упругой плоскости В. Г. Мазья, С. А. Назаров—О парадоксе Сапонджяна—Бабушки в задачах теории тонких пластин	12
ФИЗИКА	
Д. А. Багдасарян, А. О. Макарян, П. С. Погосян—Генерация разностной частоты в миллиметровой области длин воли с помощью СО2-лазера	. 6
ЭЛЕКТРОТЕХНИКА	
О. К. Давтян, Г. Г. Карамян, Р. Г. Арутюнян—О принципах работы фототопливных элементов	17
ЭНЕРГЕТИКА	
Н. С. Хуршудов—Формирование системы моделей оптимизации газоснаб- жения	21
СЕЙСМОЛОГИЯ	
С. Р. Асланян, А. А. Киракосян, С. Н. Назаретян—Сейсмическая активность и максимальные возможные землетрясения территории Армянской ССР и сопредельных районов	13
ФИЗИЧЕСКАЯ ХИМИЯ	
К А. Костанян, М. А. Погосян, В. Е. Адамян, З. А. Мурадян—Некоторые физико-химические и магнитные свойства стекол в системе Li <sub>2</sub> O—Fe <sub>2</sub> O <sub>3</sub> —B <sub>2</sub> O <sub>3</sub>	21
ПОЛЕЗНЫЕ ИСКОПАЕМЫЕ	
А. К. Сагателян—Новый тип прожилково-вкрапленного медно-молибденового оруденения в Севано-Амасийской структурно-металлогенической зоне	17
ТЕКТОНИКА	
С. Н. Назаретян, С. Р. Асланян—Нахичеван-Кафанский трансзональный разлом	182
БИОФИЗИКА	
В. Л. Арванов, С. Б. Мажинян, С. Н. Айрапетян—О блокирующем действии бескалневого раствора на С1-зависимые ацетилхолиновые ответы мембраны .	141
ФИЗИОЛОГИЯ РАСТЕНИИ	
В. В. Казарян, С. А. Саркисян—Сезонные количественные изменения АТФ и углеводов в древесных интродуцентах	74

	А. Г. Деведжян, Х. К. Хажакян, К. В Эгибян—О содержании фитогормо- пов у диких видов картофеля в связи с влиянием длины дня	223
l	энтомология	
	С. М. Яблоков-Хизорян—Новый вид жуков-чернотелок из Армянской ССР (Coleoptera, Tenebrionidae)	43
l	(Coleoptera, Curculionidae) · · · · · · · · · · · · · · · · · · ·	79
	физиология	
	Г. Г. Григорян, А. М. Стольберг, А. А. Экимян—Особенности рецептивных	
	полей нейронов претектальной области .  Л. Р. Манвелян, В. В. Фанарджян—Мозжечковый контроль деятельности	83
1	мотонейронов ядра лицевого нерва кошки	87
	ронов ретикулярного ядра покрышки моста	187
	собственных ядер моста, проецирующихся в мозжечке	227
	медицина	
	С. А. Мирзоян, Э. С. Секоян, О. П. Соцкий, Г. М. Саркисова. Э. Х. Григорян,	
	Н. Г. Епископосян—Гликосфинголипиды и кардиоваскулярная патология	91
	ФАРМАКОЛОГИЯ	
	Э. С. Габриелян, М. Б. Ордян, А. Т. Татевосян, В. Н. Мадакян, Р. Ш. Матевосян—Физиологическая активность некоторых металлокомплексов тетранатриевой соли сульфокислоты тетрафенилпорфирина (МТФП-SO <sub>2</sub> Na).	45

## CONTENTS of LXXVIII volume

MATHEMATICS	
Yu. M. Movsisian—Albert's theorem in the category of binary algebra.  H. G. Martirossian—Some optimization problems for the system with uneven deterioration.	
G. G. Nicoghossian—A sufficient condition for a graph to be Hamiltonian B. L. Golinsky—Some estimates for the Christoffel—Darboux polynomial	1
kernels and a strengthening of a theorem of J. Price • • • • • • • • • • • • • • • • • • •	23
A. A Shahintan—On one singularity of functions harmonic in the ball Yu. M. Moustsian—On the varieties of algebras defined by certain hy-	5
peridentities	5.
S. D. Grigorian—The geometrical research of the conical flows of gravitating gas	57
A. A. Shahinian—On solvability of the Dirichlet problem for harmonic functions in unbounded domains of Euclidian spaces and on open Riemann	
surfaces · · · · · · · · · · · · · · · · · · ·	99
L. A. Shahinian—On uniqueness of trigonometrical series · · ·	10
H. K. Aidinlan—On some properties of MDS codes • • • • •	108
I. G. Khachatrian—On some solutions of the nonlinear string equation •  J. G. Margarian, G. L. Mousisian—On a method of construction of the	108
linear codes · · · · · · · · · · · · · · · · · · ·	113
M. P. Dorofeeva, B. P. Ovsjankin, A. V. Smirnov—On multiprocessor schedules with due dates	147
P. E. Melik-Adamian—On the S-matrices theory of canonical differential	
operators. • • • • • • • • • • • • • • • • • • •	15
A. H. Dalalian - On avoidment of words · · · · · · · · · · · · · · · · · · ·	156
V. J. Martirosian—On distributivity of lattices of subvarieties of the varieties of right alternative algebras	199
APPLIED MATHEMATICS	
R. S. Minasian—Boundary-value problem of heat conduction for a rotating cylinder	28
K. O. Eglazarlan—On a higher dimensional generalized Hadamard mat-	203
MECHANICS	
P. G. Keshlshian—Bending by a uniformly distributed load of a simply supported rectangular thin plate rigidly connected with columns of square cross-sections.	33
A. V. Gev rkian, K. B. Kazarian — The problem of magnetoelastic shear wave reflection and refraction	62
A. D. Drosdov, V. B. Kolmanovski, V. D. Potapov — Stability of bars	UZ
from Inhomogeneously ageing visco-elastic material	117
of principal cubic theory of viscoelasticity for nonhomogeneous aging bodies.	159
238	

N. Kn. Arutyunian. A. D. Droznov, V. B. Kolmanovski—On stability of	
cylindrical pipe in aging viscoelastic medium	165
G. E. Bagdasarlan—Dynamic stability of a superconducting cylindrical shell in the magnetic field of a non-stationary current	1 208
HYDROMECHANICS	200
J. S. Torossian—The equation of sedimentation during separation	37
THEORY OF ELASTICITY	
S. M. Mkhitarian, R. S. Tumanian — About the load transfer from the	2
tarbitrary number of equidistant ring-shaped stringers to the elastic plane .	122
V. G. Maz'ya, S. A. Nazarov—On the paradox of Sapendzhyan—Babuška n problems of thin plate theory	
	127
PHYSICS	
D. H. Bagdassarlan, A. H. Makarlan, P. S. PogosslanDifference fre-	
quency generation in millimetre region by CO <sub>2</sub> laser · · · · · · · · · · · · · · · · · · ·	_
Potassium emission spectrum in 50—100 nm region · · · · ·	
R. G Tarkhanian-High frequency Nernst effect and dielectric suscepti-	
bility of semiconductors in the presence of temper_ture cradient	
D. M. Sedrakian, K. V. Pupoyan, G. A. Vardanian-On the sound absorption in quantum crystals	
ELECTRICITY	
H. K. Davtian, G. G. Karamian, R. H. Arutyunlan—On the principle of the work of photo-fuel cells.	174
ENERGETICS	
N. S. Khurshudov - Formation of a system of models for the optimization of gas supply · · · · · · · · · · · · · · · · · · ·	
SEISMOLOGY	
S. R. Aslanian, A. A. Kirakosian, S. N. Nazaretian—Seismic activity and maximum possible earthquakes on the territory of the Armenian SSR and adjoining areas	•
PHYSICAL CHEMISTRY	
K. A. Kostanian, M. A. Pogosian, V. I. Adamiun, Z. A. Muradian – Some physical, chemical and magnetic properties of glasses in the system $Li_2O-Fe_2O_3-B_2O_3$ .	
FOSSIL MINERALS	^
A. G. Saghatelian—A new type of porphir-copper with molybdenic ores in the Sevan-Amasia structural metallogenic zones.	178
TECTONICS	
S. N. Nazaretlan, S. R. Aslanian - The Nakhichevan-Khaphan transzoning fault.	182
BIOPHYSICS	
V. L. Arvanov, S. B. Majinian, S. N. Ayrapetian—On the inhibitory	
action of K-free solution on the Ci-dependent acetylcholine responses of the	141
membrane	239
	200

PLANT PHYSIOLOGY	
H. H. Devedjian, K. K. Khazhakian, K. V. Egibian—On the contents of phytohormones in the wild species of potatoes as influenced by the length of	74
ENTOMOLOGY	
S. M. lablokoff-Khnzorian—A new species of Tenebrionid beetles from Armenian SSR (Coleoptera, Tenebrionidae)  S. M. lablokoff-Khnzorian—Two new species of curculionid beetles from the Caucasus (Coleoptera, Curculionidae)  • • • • • • • • • • • • • • • • • • •	4
PHYSIOLOGY	
G. G. Grigorian, A. M. Stolberg, A. A. Hekimian—The properties of the receptive fields of pretectal neurons  L. R. Manuellan, V. V. Fanardjlan—Cerebellar control of the activity of facial nucleus motoneurones in the cat  A. H. Bantikian, H. P. Kosoyan—About the electrophysiological properties of nucleus reticularis tegmenti pontis neurons  H. P. Kosoyan, A. H. Bantikian—Electrophysiological analysis of pontine gray proper neurons projecting to cerebellum	8 8
MEDICINE	
S. A. Mirsoyan, E. S. Sekoyan, O. P. Sotzcki, G. M. Sarkissova, E. Ch. Grigorian, N. G. Episcopossian—Glycosphingolipias and cardiovascular pathology	9
PHARMACOLOGY	
E. S. Gabrielian, M. B. Ordian, A. T. Tatevosian, V. N. Madakian, R. Sh. Matevosian—Physiological activity of some metallocomplexes of tetrasodium salt of tetraphenylporphyrin sulphoacid.	4
didin sait of tetraphenyipotphylin sulphoacid.	1

